

Вторични кварцити от североизточната периферия на Боровишкия вулкански район. I. Геолого-петрографска характеристика на хидротермално изменените зони

Ангел Кунов

Кунов, А. 1991. Secondary quartzites from the northeastern periphery of the Borovitsa volcanic area. I. Geological-petrographic characteristics of the hydrothermally altered zones. — *Geochem., Mineral. and Petrol.*, 28, 46-72.

The area is a complex geological object and represents a centre of prolonged endogene activity in its three major forms: tectonic, magmatic and hydrothermal.

Hydrothermally altered zones in the localities of Gabrovo, Sarnitsa-Spahievo, Bryastovo, Pilashevo, Susam and Svetlina are characterized geologically and petrographically. All zones are located in places with structures of various development. The prolonged activity of a number of fault structures has been accompanied by a variety of mineralization processes of different ages. The nature of volcanism and the original rock composition have influenced the hydrothermal alterations. Their products include propylites, argillites, secondary quartzites (monoquartzites, and diaspore, alunite, kaolinite-dickite and sericite quartzites). They were succeeded by ore mineralizations accompanied by silification, argillization, sericitization, carbonatization and chloritization. Barite and adularia are very common, zeolites and phosphates are also found, and there is a single locality of fluorite.

Key words: hydrothermally altered zones, propylites, argillites, secondary quartzites, adularization.

Address: Bulgarian Academy of Sciences, Geological Institute, 1113 Sofia.

Статията съдържа по-голямата част от резултатите от научноизследователската работа на автора, извършена в периода 1974—1985 година. Някои данни и резултати са актуализирани във връзка с нови изследвания. В тази част са направени обща характеристика на магматизма, кратък преглед на изучеността на хидротермално изменените скали и геолого-петрографско описание на хидротермално изменените зони. В следващи части на статията ще бъдат разгледани минералогията и зоналността на изменените скали, геохимията на петрогенните компоненти и микрокомпонентите, генезисът и практическото значение на вторичните кварцити и т. н.

Въпросите за формационната и фациалната същност и проблемите на вторичните кварцити, както и изучеността им у нас, ще бъдат предмет на отделна статия.

Геология на района

Основни черти на палеогенския магматизъм

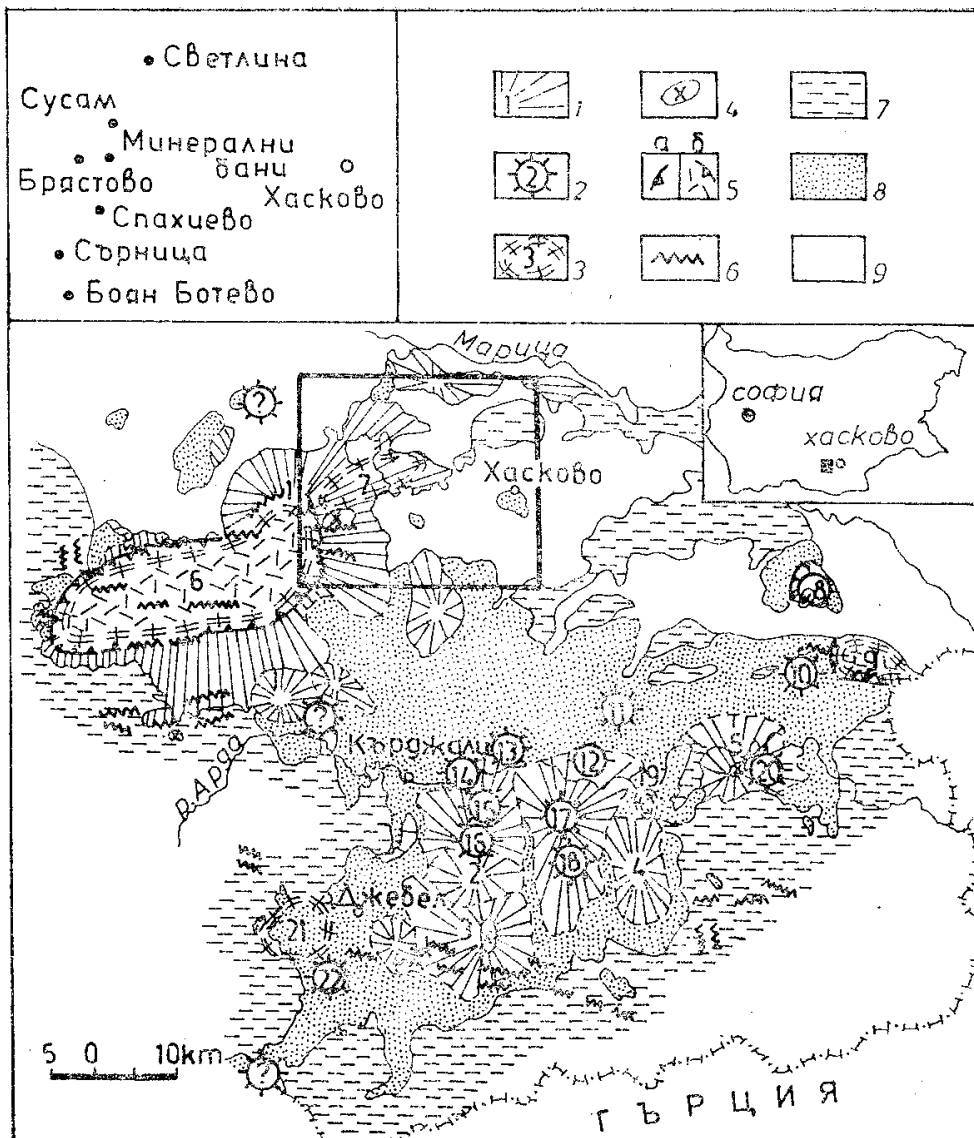
При блоковото разчленяване на младоалпийския Родопски масив в резултат на тектонски преобразувания на докамбрийския кристалинен фундамент са оформени грабенови впадини. В рамките на Източнородопското палеогенско понижение (Иванов, 1960) (фиг. 1), което продължава на север на територията на Тракийската низина и се покрива от мощни плиоценски и миоценски моласови утайки (Коюмджиева, Драгоманов, 1979), са образувани три понижения от по-висок порядък (Иванов, 1960, 1972; Боянов, Маврудчиев, 1961): Боровишкото, Момчилградско-то и Ардинската грабен-синклинала. Нагковска et al. (1989) разглеждат Източнородопска вулканска област с три вулкански района: Боровишки, Момчилград-Ардински и Сушицки (последния главно на територията на Гърция) и предлагат колизионен модел за развитието на палеогенския магматизъм.

Започналата през приабона моласова седиментация първоначално е с континентален характер и плиткоморски условия, като същевременно с това се разширява и площта на отлагане (Горанов, 1960). В края на приабона са първите прояви на магматизма. Късноалпийският магматизъм се проявява синхронно със или непосредствено след отлагането на приабонско-олигоценската моласа при преобладаващо развитие на вулканизма. Магматизъмът е представен от синседиментационни (субаерални до плиткоморски) вулканити, комагматични интрузии и постседиментационни вулканити Янев, Харковска, 1981). Синседиментационният вулканизъм се характеризира с циклично развитие, изразено в неколкократно редуване на средни и кисели по състав продукти (три-четирикратно) (Иванов, 1960; Боянов, Маврудчиев, 1961; Кацков, Шиляров, 1968). Според Марчев (1985) вулканизъмът в Боровишкия район има леко усложнен, но изразен хомодромен характер, което противоречи на вече посоченото циклично развитие в Източните Родопи.

По данни на Lillov et al. (1987) по K/Ar определения приабон-олигоценовият магматизъм в Източните Родопи е проявен в интервала от 37 до 25,5 млн. г.

Разглежданите в статията обекти попадат в североизточната част на периферията на Боровишкия вулкански район. Централната част на района заема калдера (Иванов, 1972), която има елипсовидна форма, ограничена от разломи на площ с размери 30×15 km. Приема се като резултат от две взаимносъвързани действия: тектонски и калдерни пропадания. Сърнишкият разлом, както определя Иванов (1972), е сложна кръгова калдерна структура (кръгов разлом с дайки в него) със спрегнати радиални дайки. От радиалните структури най-изразени са Сърнишката кулиса и Пилашевският дайков сноп (Иванов, 1972). Потях и на местата на пресичането им със Сърнишката калдерна структура се наблюдават най-интензивните хидротермални изменения. Неслучайно се изтъква и тяхната рудоконтролираща и потенциална рудовместстваща роля (Иванов, 1972).

По вулкано-тектонски съображения Иванов (1972) отделя три структурни комплекса: докалдерен, калдерен и следкалдерен. За литостратиграфското разчленяване на вулканизма са създадени няколко близки по съдържание схеми (Горанов, 1960; Иванов, 1960; Ivanov, Koop, 1969). Според Иванов (1972) по отношение на времето на образуване на



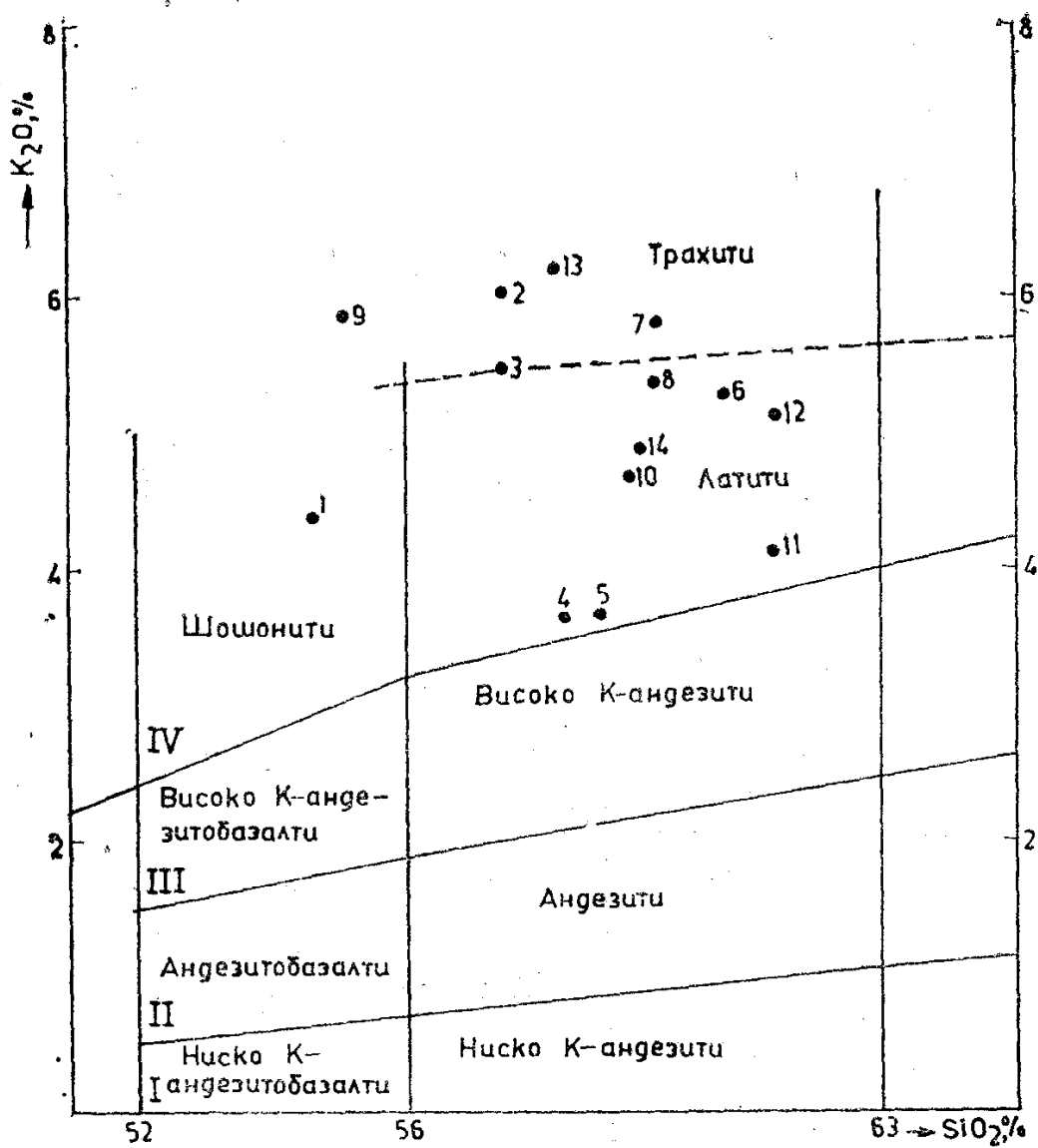
Фиг. 1. Структурно-вулканологка схема на Източнородопската вулканска област (Иванов, 1960 и Янев в Нагковска et al., 1989)

1 — стратовулкани със среден състав (1 — Драгойна, 2 — Дамбалък, 3 — Звездел, 4 — Ирантепе, 5 — Маджарово); 2 — централен тип вулкани с кисел състав (8 — Лозен, 10 — Света Марина, 11 — Силен, 12 — Студен кладенец, 13 — Перперек, 14 — Хисар, 15 — Орманлар, 16 — Дамбалък, 17 — Свети Илия, 18 — Радневци, 20 — Маджарово; 22 — Зли връх); 3 — куполи с кисел състав (6 — Боровица, 7 — Хасковски минерални извори, 9 — Вълче поле, 19 — Герен, 21 — Устра); 4 — хипоабисални интрузии; 5а — калдерни разломи, 5б — кисели пирокластити в калдерите; 6 — дайкови снопове; 7 — допалеогенски цокъл; 8 — палеогенски седиментни и седиментновулкански стратифицирани скали; 9 — неогенски и кватернерни седименти

Fig. 1. Structural-volcanologic sketches of East Rhodope volcanic area (Иванов, 1960 and Janev in Нагковска et al., 1989)

1 — stratovolcanoes of intermediate composition (1 — Dragoina, 2 — Dambalâk, 3 — Zvezdel, 4 — Irantepe, 5 — Madžarovo); 2 — central type volcanoes of acid composition (8 — Lozen, 10 — Sveta Marina, 11 — Silen, 12 — Studen Kladeneç, 13 — Perperek, 14 — Hisar, 15 — Ormanlar, 16 — Dambalâk, 17 — Sveti Ilia, 18 — Radnevci, 20 — Madžarovo, 22 — Zli vrah); 3 — dome-fields of acid composition (6 — Borovica, 7 — Haskovo min. springs, 9 — Vâlče pole, 19 — Geren, 21 — Ustra); 4 — hypabyssal intrusions; 5a — calderas faults; 5b — acid pyroclastics in the calderas; 6 — dyke swarms; 7 — pre-Paleogene basement; 8 — Paleogene sedimentary and sedimentary-volcanogenic stratified rocks; 9 — Neogene and Quaternary sediments

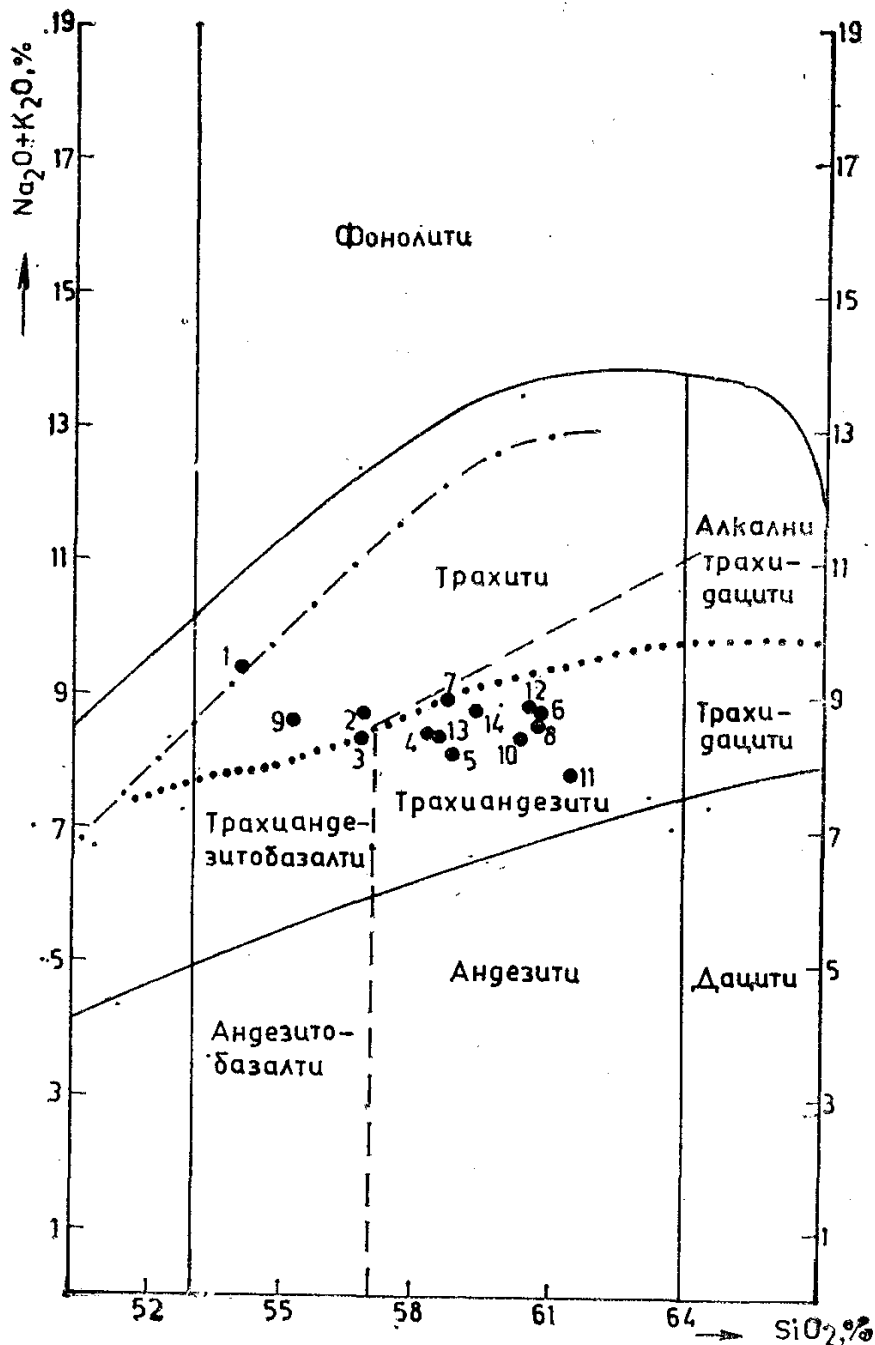
калдерата към докалдерния комплекс се отнасят вулканитите от I и II среднокисел и I кисел вулканизъм: към калдерния — от II кисел и към следкалдерния — от II кисел и III среднокисел и кисел вулканизъм.



Фиг. 2. Диаграма K_2O/SiO_2 (Ресцегилло, Тайлор, 1976) уч. Сърница—Спахиево:
1 — обр. 327/447; уч. Габрово: 14 — обр. Г5; уч. Брястово: 2 — обр. 367, 3 — обр. 130/
156, 13 — х. Аида; уч. Пилашево: 4 — обр. 215/288, 5 — обр. 255/347; уч. Сусам: 6 —
обр. 56, 7 — обр. 6/13, 8 — обр. 26/50, 9 — обр. 15/29; уч. Светлина: 10 — обр. 39/90,
11 — обр. 12/31, 12 — обр. 35/84

Fig. 2. K_2O/SiO_2 diagram (Ресцегилло, Taylor, 1976). Sarnica-Spahievo region: 1 — samp1. 327/447; Gabrovo region: 14 — samp1. Г5; Brjastovo region: 2 — samp1. 367, 3 — samp1. 130/156, 13 — Aida; Pilashevo region: 4 — samp1. 215/288, 5 — samp1. 255/347; Susam region: 6 — samp1. 56, 7 — samp1 6/13, 8 — samp1. 26/50, 9 — samp1. 15/29; Svetlina region: 10 — samp1. 39/90, 11 — samp1. 12/31, 12 — samp1. 35/84

В геоложкия строеж на разглеждания район участвуват скали с до-камбрийска и терциерна възраст, оформящи два структурни етажа. Долният структурен етаж е изграден от протерозойски метаморфити (шисти, гнейси, амфиболити и др.), които са пресечени от сондажи на дълбочина около 600 м. Върху тях залягат несъгласно приабонски седименти (пясъчници, варовици, глиnestи шисти и др.), които се покриват от вулкански скали с приабон-олигоценска възраст. В количествено отношение основно значение имат продуктите на I и II среднокисел вулканизъм. I се отличава със сложно развитие и голяма дебелина на задругите. Най-широко са разпространени лавови тела с латитов-латитоандезитов състав. В някои случаи се срещат и лавокластични скали (Гаджовска чука при с. Сърница). За вулканските скали се приема приабонска възраст, тъй като са съчленени със седиментни скали



Фиг. 3. Диаграма $(\text{Na}_2\text{O} + \text{K}_2\text{O})/\text{SiO}_2$ (Классификация . . . , 1981). Означенията са както на фиг. 2

Fig. 3. Diagram $(\text{Na}_2\text{O} + \text{K}_2\text{O})/\text{SiO}_2$ (Классификация . . . , 1981). Symbols as in Fig. 2

с фаунистично доказана такава възраст. По-сложен е въпросът за развитието на вулканизма северно от Мечковецкия разломен сноп. Иванов (1972) отнася дребно- и едропорфирните латити към II среднокисел вулканизъм, докато Боянов, Марудчев (1961) смятат, че те принадлежат към I среднокисел.

По петрохимични критерии, основани на наши данни, скалите от I и II среднокисел вулканизъм съгласно класификацията на Peccerillo, Taylor (1976) и Классификация . . . (1981) попадат в полетата на шошонитите и латитите (фиг. 2, 3). Ако в диаграмата на Peccerillo, Taylor се внесе допълнението на Марчев (1985), скалите, представени с обр. 2, 3, 7 и 13, могат да се отнесат към трахитите.

II кисел вулканизъм обхваща интензивна вулканска дейност с многократна изява, намерила най-ярък израз в образуването и запълването на голяма калдера на обрушване (Иванов, 1872). В североизточната рамка на Боровишкия район той е представен от няколко издигнати купола от риолити, от туфи и перлити непосредствено до с. Минерални бани и западно от него.

Към най-късните прояви на вулканизма се отнасят дайките и секущите тела с различен състав, които засега съгласно Иванов (1972) могат да се обединят под името „посткалдерни вулканити“.

Интуризивната дейност отстъпва по количествени измерения на вулканизма. Сърнишката интрузия е открита при геоложката картировка в М 1:100 000 (Иванов и др., 1956)*. Интрузивното тяло заема площ около 1,5 km². То е конформно, дискордантно, щокообразно тяло, привързано към крупен североизточен (30—40°) разлом (Маляков, Димитрова, 1973). Подробно в минералого-Петрологично отношение Сърнишката интрузия е изучена от Маврудчиев, Ботев (1966). Интрузивното тяло е изградено от монционитоиди (основната част), сиенити и гранит-аплити, които процепват дребно- и едропорфирните латити. На места по контактите са образувани хорнфелзи.

Малко са данните за Караманската (микродиорити и микрогабродиорити) и Пилашевската (сиенит-порфири) интрузия (Боянов, Маврудчиев, 1961), а така също и за Мезарльксъртската**.

Кратък преглед на данните за изучеността на хидротермално изменените скали

В Източнородопското палеогенско понижение широко е проявена хидротермална дейност, различна по характер и интензивност (фумаролно-солфатарна, автометасоматоза, околовжилни метасоматични изменения и др.). Образувани са пропилити, аргилизити, вторични кварцити (Радонова, 1960, 1973, 1975; Бресковска и др., 1976; Велинов и др., 1977; Кунов и др., 1981; Велинов и др., 1982). Често се наблюдават прояви на адуларизация (Радонова, 1970, 1973; Велинов и др., 1977 и др.), зеолитизация (Костов и др., 1966; Алексиев, Джурева, 1978; Уапев et al., 1982; Капазирски, Уапев, 1983, и др.). Орудяванията от полиметалната формация според Димитров (1979) са представени в находища от кварц-злато-сребро-полиметален тип и са съсредоточени в рудни жили и щокверкови зони. Приема се, че те са най-късните образования, които са свързани с палеогенския вулканизъм.

Представите за разглеждания район, който включва и т. нар. Спахиевско рудно поле, се оформят на базата на геоложките картировки, геолого-проучвателните и експлоатационните изработки, научните изследвания.

Геоложката дейност в изучавания район всъщност е низ от неразривно свързани геологопроучвателни и научноизследователски работи. След първите геоложки картировки през 60-те години (под ръководството на Р. Рашков, Р. Иванов, В. Костадинова, И. Боянов, Й. Шабатов) са извършени и детайлни такива, придружени от геохимични и геофизични работи (Цонев, 1960; Цекова и др., 1972, 1973; Петров и др., 1981)*. Извършените досега

* Непубликувани данни.

** Непубликувани данни на В. Цекова.

геологопроучвателни работи на отделни обекти са отразени в редица доклади и отчети (Доков, Димитрова, 1959; Муртазова и др., 1972; Муртазов и др., 1973; Муртазова и др., 1982; Муртазова и др., 1983, и др.)*. Резултат са изчислените запаси от оловно-цинкова и златно-сребърна руда и предадените за експлоатация находища Габрово (изчерпано през 1968 г.), Саже (в процес на експлоатация) и Чала (с предстояща експлоатация).

Научните изследвания са съсредоточени главно в следните насоки: петрография на Сърнишката интрузия (Маврудчиев, Ботев, 1966), структурно-тектонска (Маляков, Димитрова, 1973; Манева, Маляков, 1974; Манева, 1973, 1975, 1975а, 1980, 1982), магмотектонски (Иванов, 1972; Георгиев, Миланов, 1989), минерален състав и други въпроси на рудите (Атанасов, 1967; Димитров, Димитров, 1974; Димитров, Кръстева, 1974; Димитров, 1979), обогатяване на оловно-цинкови и златосъдържащи руди (Кинтишева, 1975, 1982)*, геофизични (Цветков и др., 1989; Йосифов и др., 1990), а също така петрографски, петрохимични, геохимични и прогнозни (Иванов и др., 1971)*, обобщаващи (Манева, 1989) и др. На изследванията върху хидротермално изменените скали в научно и практическо отношение е естествено да се отдели по-голямо внимание, като се има предвид темата на настоящата статия.

За първи път за хидротермално изменени скали споменават Рашков и др. (1952)*, употребявайки термина хидротермално окварцени вулканити. По-късно хидротермално изменени скали между с. Пилашево и с. Сърница разглеждат Иванов и др. (1956)*, които отделят малки тела от „метасоматични силицити“ при с. Светлина, привързани към участъците с най-интензивни поствулкански промени. Обобщавайки резултатите от картировката в M 1:25 000, Боянов и др. (1960)* отбелязват площния характер на хидротермалната дейност и това, че тя е засегнала скалите от всички стратиграфски нива. В текстовото описание са отделени площа пропилитизация, и два фациеса на вторични кварцити: диаспоров и алунитов. В докладите от геоложките картировки хидротермалните изменения се свързват със зоните на силно разломяване — разломи и дайкови снопове, които са били проводници на хидротермалните разтвори. Данните обаче не позволяват реално оценяване на хидротермалните изменения. От друга страна, по-детайлните картировки не са обхванали или са обхванали само частично участъците с вторични кварцити (Цекова и др., 1972, 1973; Петров и др., 1981)*.

Началото на конкретните работи, свързани с хидротермалните изменения на скалите, поставя Рашков (1962) с описание на диаспоровите вторични кварцити в землището на с. Спахиево. Той прави минераложка характеристика на диаспора и изказва идеи относно генезиса му. Същевременно като второстепенни минерали са изброени и накратко характеризирани корунд, турмалин, глинисти минерали (дикит, каолинит), барит, железни окиси, рутил, пирит, алунит, без да се отделят първичните парагенетични и вторични минерали.

Най-последователни и целенасочени изследвания върху хидротермално изменените скали в по-голямата част от т. нар. Спахиевско рудно поле извършва Радонова (1972, 1973, 1975). Основавайки се на теренни наблюдения и прецизна минералого-petроложка характеристика, тя установява хоризонтална и вертикална зоналност в развитието на метасоматичните фациеси. Тя дава конкретни препоръки за практическа оценка на алунитовите и диаспоровите кварцити за използването им като критерии при търсене

* Непубликувани данни.

главно на полиметални орудявания в дълбочина и използването им като комплексна сировина.

Във връзка с нарасналния интерес към небокситовите алуминиеви сировини през 80-те години от ДКНТП е утвърдена програма, в която се поставя задача за промишлена оценка на находищата от алунитови кварцити у нас. Като част от тази програма за Сърница и някои други находища е предаден доклад (Велинов и др., 1976)*, в който освен нови минералово-петроложки и структурни данни за находището се привеждат прогнозни запаси. За нуждите на ДСО „Цимент и вародобив“ през 1976—1977 г. е извършено детайлно проучване с канави и сондажи и са изчислени запаси от алунитова сировина (Муртазова и др., 1981)*.

С оглед съставянето на технологична оценка на алунитите от находището през 1975 г. в Базата за развитие и внедряване на нерудни полезни изкопаеми в Кърджали са извършени опити за получаване на алуминиев сулфат, калиево-алуминиев сулфат и алуминий (Новодрянов, 1974)*.

Нови минералово-петроложки резултати са получени след извършените научноизследователски ревизионни работи по адуларизацията (Велинов и др., 1983)*, алунитизацията (Велинов и др., 1984)* и аргилизацията (Степанов и др., 1985)*, част от които са предмет на обсъждане в по-нататъшното изложение.

Структурно-тектонска позиция на хидротермално изменените зони

Още първите изследвания в Боровишкия район (Иванов, 1972) показват ролята на вулкано-тектонските структури като магмопроводящи структури с дълбоко заложение и с важно рудовместващо и рудоконтролиращо значение. Според същия автор особено внимание трябва да се обръща на концентричните и радиалните разломи, които са средища на интензивна хидротермална дейност.

Всички хидротермално изменени зони в изследвания район се разполагат на места с развитие на структури с различно заложение. Разновъзрастните и разнообразни минерализационни процеси свидетелствуват за дългия живот на много от разломните структури. Налице е пряка връзка и между хидротермалните изменения и структурообразователните процеси. Образувани са линейно удължени зони или относително изометрични участъци в т. нар. „тектонски възли“. Няколко такива основни възли са пресечниците на Сърнишкия калдерен разлом (1 на фиг. 4) с Мечковецкия (3 на фиг. 4) и Пилашевския разломно-дайков сноп (4 на фиг. 5 и 6), на Чамлъшкия разлом (2 на фиг. 4) с Мечковецкия разломен сноп, на север — южни разломи с разломна зона с посока 100—120° в района на с. Г. Брястово (фиг. 5), на север — южните и изток-западните разломи при с. Светлина и др. Независимо че са развити няколко системи, прави впечатление първостепенната роля на изток-западните и север-южните разломи. В Спахиевското рудно поле Манева (1975а) отделя три основни етапа: доруден, руден и следруден. Според нея основната метасоматична преработка на вулканитите се извършва в доинтрузивния подетап на първия етап, когато вулканската дейност протича в подводни условия. Също така тя приема, че периодът на постепенно осушаване настъпва в края на интрузивния подетап едновременно с внедряването на интрузиите по време на ориентирания тектонски натиск. Тук е

* Непубликувани данни.

необходимо да се подчертвае, че продуктите на киселинното извличане са типични за субаерални условия. Това означава, че или осушаването в периферията на Боровишката депресия е започнало по-рано (още в доинтрузивния етап), или хидротермалната дейност, създала вторичните кварцити, е започната след внедряването и застиването на Сърнишката интрузия. Първото твърдение изглежда твърде вероятно, тъй като в района на с. Брястово и с. Спахиево има случаи на сухоземна палеофлора сред пирокластити. Втората възможност е свързана с по-трудно доказване съществуването на наложени хидротермални изменения върху контактно променени вулканити или за установяване на вторични кварцити по монционитоиди.

Особено ясна е привързаността на повече от кварц-адуларовите и кварц-баритовите зони към разломи с предимно източно-западна посока. Тези зони оформят греди, които следват разломите на значително разстояние и се отклоняват сравнително добре на повърхността. С тектонски нарушения са свързани също околожилните изменения и оловно-цинковите орудявания.

В редица случаи в дълбочина се установяват зони от вторични кварцити (например диаспорови), които нарушават метасоматичната зоналност. Освен възможностите за налагане на минерализации в резултат на по-късна хидротермална дейност, може да се потърси обяснение и по тектонски причини.

Геолого-петрографска характеристика на хидротермално изменените зони

Участък Габрово

Намира се (фиг. 4) западно от с. Боян-Ботево. В едноименния рудник е водена експлоатация от 1950 до 1968 г. (с прекъсване през 1957—1959), която е завършена поради изземване на запасите от оловно-цинкови руди. По непубликувани данни от отчети и доклади за геологически картировки, геологопроучвателни работи и експлоатация (Боянов и др., 1960; Доков, Димитрова, 1959; Муртазова и др., 1972, и др.) и от някои научноизследователски работи (Атанасов, 1965; Иванов, 1972) се вижда, че орудяванията са вместили в пясъчници и конгломерати по Габровския разлом с изток-западна посока. Съгласно стратиграфската схема (Иванов, 1972) споменатите скали се отнасят към свитите на конгломератите и пясъчниците с приабонска възраст, като залягат непосредствено върху кристалината подложка. Следват скалите от първия среднокисел вулканизъм (андезити, латитоандезити, латити), а хоризонтът на резедавите туфи (приет за маркиращ) се отнася към първия кисел вулканизъм с долноолигоценска възраст. Според Манева, Маляков (1974) в тектонско отношение участъкът попада в Боян-Ботевския блок, който е издигнат спрямо останалите блокове на Спахиевското рудно поле и се характеризира с по-слаба хидротермална дейност и орудявания. Специални изследвания за хидротермалните изменения на скалите не са правени, но в геологическите доклади са споменати плътна пропилитизация по вулканските скали и изменения в седиментните скали — частично окварциране, пиритизация, хлоритизация, карбонатизация. Наличие на вторични кварцити западно от рудник „Габрово“ отбележват Атанасов (1967) и Иванов (1972), без каквито и да е минералого-петрологки данни в подкрепа на това твърдение. Иванов (1972) разглежда участъка на рудника като възел на пресичането на кръгови калдерни разломи с разломите на докалдерната Габровска разседна зона;

Таблица 1

Химичен състав на метасоматично изменени скали от участък
Габрово (съдържание в тегл. %)

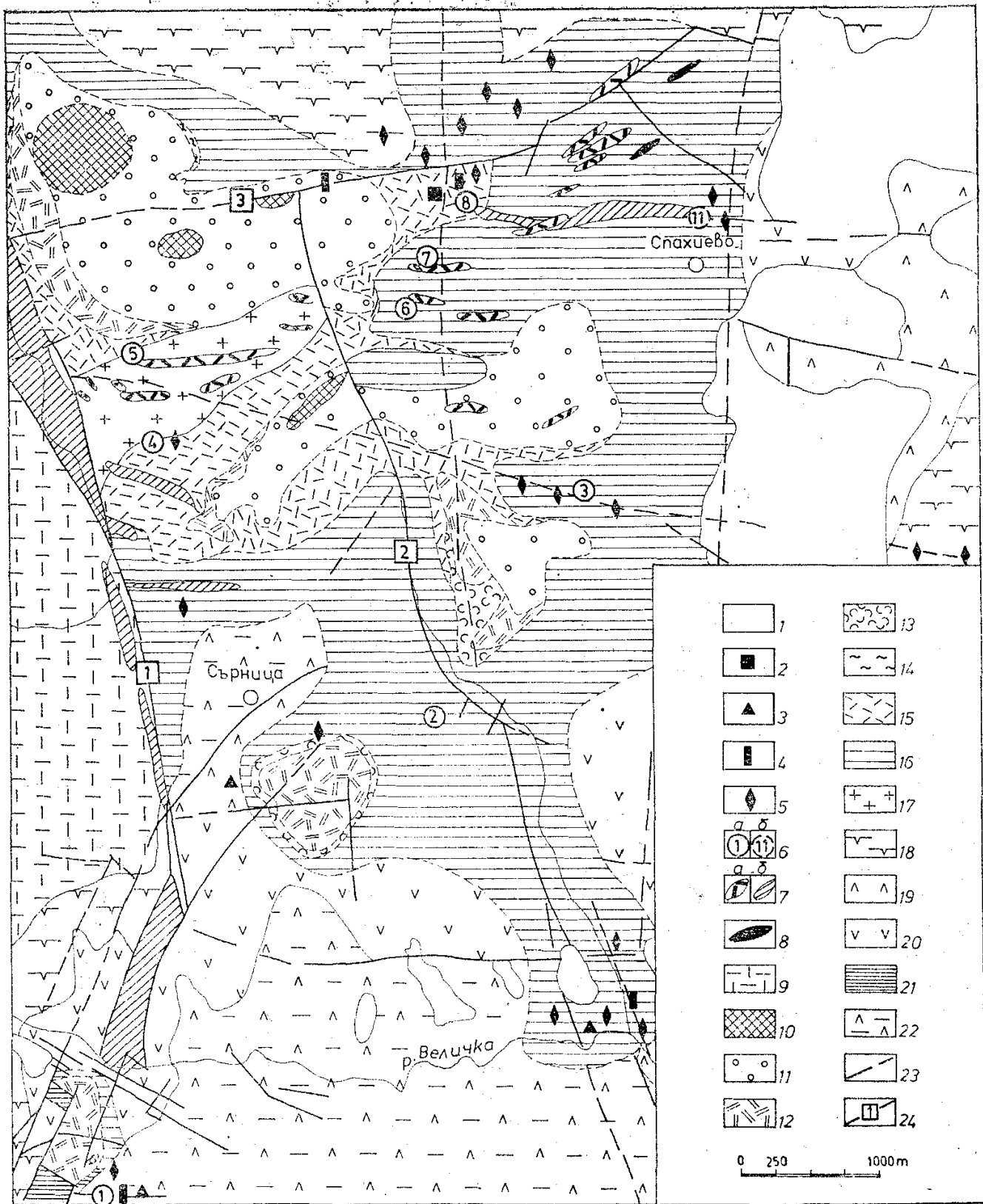
Компоненти	Проба				
	5	3	2	1	1а
SiO ₂	59,42	57,46	89,50		
TiO ₂	0,76	0,77	0,98		
Al ₂ O ₃	16,23	16,47	2,71		
Fe ₂ O ₃	4,69	3,29	3,19		
FeO	1,52		0,29		
MnO	0,08	0,01	0,01		
MgO	3,33	0,10			
CaO	1,05	0,60	0,52		
Na ₂ O	3,92	0,98	0,06	1,72	0,26
K ₂ O	4,75	1,82	0,55	8,74	3,60
P ₂ O ₅	0,45	0,64	0,16		
H ₂ O ⁻	0,83	0,35	0,21		
H ₂ O ⁺	2,73	6,50	1,35		
SO ₃	—	10,96	0,22		
Сума	99,76	99,95	99,74		

З а б е л е ж к а. Пробите са: 5 — пропилитизиран латит; 3 — алунитов кварцит; 2 — вторичен кварцит, съдържащ диаспор и алунит; 1 — пропилитизиран и адуларизиран латит; 1а — кварцадуларова прожилка.

вторичните кварцити са вместени сред калдерните разломи и са генетично свързани с тях.

При извършените изследвания освен споменатите промени бяха установени диаспорсъдържащи кварцити, алунитови кварцити и зони на адуларизация. Вторичните кварцити заемат площ около 0,5 km². Изучаването им се затруднява както от липса на достатъчно разкрития, така и от сложната тектонска обстановка. Според Иванов (1972) сложната шахматна дребноблокова структура на участъка се дължи на неколократни докалдерни, калдерни и следкалдерни движения. В тази обстановка трудно може да се оцени позицията на резедавите туфи. Ако в действителност вторичните кварцити залягат над тях, това означава, че кварцитите са развити по скали от втория среднокисел вулканизъм. От друга страна, между алунитовите кварцити и резедавите туфи не се наблюдават пропилитизирани латитоандезити, а такива се разкриват под туфите. Наличието на окварцияване и адуларизация в пропилитизираните вулканити и в киселите туфи, както и непосредствено то развитие над тях на алунитови кварцити (възможно е да присъствуват и аргилизити), показва вероятност за изменения от хидротермална дейност, свързана с разломния възел. Това същотака показва, че в конкретния случай хидротермалната дейност не може да се обвързва само с определен етап от вулканизма (първи или втори среднокисел).

За пропилитизираните вулканити са характерни серицитизацията на плагиоклазите, хлоритизацията на биотита и карбонатизацията (прожилки и гнезда). Диаспорсъдържащите кварцити оформят едно малко тяло в южната част от площа с вторични кварцити. Те са изградени от кварц, диаспор около 5%, малко алунит, железни хидроокиси. Алунитовите кварцити се отличават с плътно развитие и дебелина в рамките на първите няколко десетки метри. Те са розовожълтеникави до ръждивоизбелели на цвят. Из-



Фиг. 4. Геологичка карта на уч. Сърница—Спахиево и уч. Габрово (Иванов, 1960
1972; Боянов, Маврудчиев, 1961; Радонова, 1973; Димитров, 1974, с допълнения)

1 — кватернер, плиоцен; олигоцен; 2 — зони с фосфатна минерализация; 3 — зони на зеолитизация; 4 — зони на баритизация; 5 — зони на адуларизация; 6а — по-важни рудни находища и рудопроявления (1 — Габрово, 2 — Мезарльксърг, 3 — Иреджедере, 4 — Саже, 5 — северен контакт на монцонитовата интрузия, 6 — Кайн бунар, 7 — Ерекдере, 8 — Чала), 6б — по-важни зони с рудни минерализации (11 — Спахиево); III кисел вулканизъм: 7а — фелзитови риолити, 7б — кварцтрахити; III средно-кисел вулканизъм: 8 — мелалатити; II кисел вулканизъм: 9 — риолитов комплекс; II средно-кисел вулканизъм: 10 — монокварцити, 11 — диаспорови

градени са от кварц 50—60%, алунит до 25—30%, малко каолинит, рутил, железни хидроокиси, ярозит. Алунитът е развит в пинакоидален хабитус, което заедно с малката мощност на кварцитите и липсата на диаспоров фациес и монокварцити е указание за по-голяма дълбочина на ерозияния срез в сравнение с други блокове от северния участък Сърница—Спахиево. В химическо отношение (табл. 1) метасоматично изменените скали не се различават съществено от тези в другите участъци на северозападната част от периферията на Боровишкия вулкански район.

Интересно е да се отбележи, че в долината на р. Величка, в близост до местността Борака, се наблюдават остатъци от шлака (непубликувани данни на Иван Иванов), които най-вероятно са свързани с получаването на стипица от намиращите се в непосредствена близост алунитови кварцити. Потвърждение на това има и в пътеписите на Евлия челеби от миналия век.

Участък Сърница — Спахиево

Участъкът (фиг. 4) заема по-голямата част от т. нар. Спахиевско рудно поле (Радонова, 1973; Манева, Маляков, 1974). За северна граница с Брястовския участък се приема Мечковецкият дислокационен сноп, за западна и източна — съответно Сърнишкият и Казъклийският разлом, а за южна — р. Величка. В геология строеж на удължения в меридионална посока тектонски блок (Маляков, Димитров, 1973) участвуват терциерни вулканити (латити, латитоандезити, андезити — по Иванов и др., 1971 — непубликувани данни), пирокластити и епикластити, терциерни интрузивни, дайкови, седиментни скали, както и метаморфити от фундамента.

Конфигурацията на тектонския блок е определена от крупни разломи по които са се извършили размествания с голяма амплитуда (Манева, 1975). Изявеният блоков строеж (Манева, 1975) се определя от няколко основни системи на разломяване. Според Маляков, Димитров (1973) те са три: 290—300°, 340—350° и 30—40°, а Манева (1975) групи

← кварцити, 12 — алунитови кварцити, 13 — каолинит-дикитови кварцити, 14 — аргилити, 15 — кварц-сериицитови метасоматити, 16 — пропилити, 17 — Сърнишка интрузия, 18 — едро- до среднопорfirни латити и трахити, 19 — дребнопорfirни латити, 20 — мелалагити и дребнопорfirни латити; I кисел вулканизъм: 21 — хоризонт на резедавите туфи; горен еоцен: I среднокисел вулканизъм: 22 — дребнопорfirни андезити и латитоандезити; 23 — разломи; 24 — по-важни разломи: 1 — Сърнишки калдерен, 2 — Чамъшки, 3 — Мечковецки

Fig. 4. Geological map of the Sarnica — Spahievo and Gabrovo regions (Иванов, 1960, 1972; Боянов, Маврудчиев, 1961; Радонова, 1973; Димитров, 1974 with additions)

1 — Quaternary, Pliocene; Oligocene: 2 — zones with phosphate mineralization, 3 — zones of zeolitization, 4 — zones of baritization, 5 — zones of adularization, 6a — more important deposits and manifestations (1 — Gabrovo, 2 — Mezarlaksårt, 3 — Iredžedere, 4 — Saže, 5 — N contact of the monzonit intrusion, 6 — Kainbunar, 7 — Erekdere, 8 — Čala); 6b — more interest zones with ore mineralization (11 — Spahievo); IIId acid volcanism: 7a — felsitic rhyolites, 7b — quartztrachytes; IIInd intermediate volcanism: 8 — melalaitites; IIInd intermediate volcanism: 10 — monoquartzites, 11 — diaspor quartzites, 12 — alunite quartzites, 13 — kaolinite-dickite quartzites, 14 — argillizites, 15 — quartz-sericite metasomatites, 16 — propilites, 17 — Sârniča intrusion, 18 — coarse- to medium porphyric latites and trachytes, 19 — fine porphyric latites, 20 — melalaitites and fine porphyric latites; Ist acid volcanism: 21 — greenish tuffs; Upper Eocene: Ist intermediate volcanism: 22 — fine porphyric andesites and andesite-latites; 23 — faults; 24 — more important faults: 1 — Sârniča fault, 2 — Čamlaka, 3 — Mečcovec

ра разломите в четири системи: $20-40^\circ$, $90-120^\circ$, $70-90^\circ$ и $160-180^\circ$. Манева (1975) и други автори включват в естествените граници на Спахиевското рудно поле освен изброените по-горе разломи и Габровския — от юг. Независимо че този модел се приближава до изискванията за рудно поле, трябва да се имат предвид и някои идеи за разширяване (например в западна посока — по непубликувани данни на Р. Иванов, в източна посока — Йосифов и др., 1990, а също и на север).

Съгласно представите на Иванов (1972) в участъка се разкриват скали на първия и втория среднокисел вулканизъм. Първият среднокисел вулканизъм е представен от порfirни латитоандезити, андезити, кварц-латитоандезити, лавобрекчи, туфобрекчи. Латитите са тъмнозелени скали с порfirна генерация от плагиоклаз, амфибол, пироксен и биотит и основна маса от плагиоклазови микролити и вулканско стъкло. Плагиоклазовите индивиди (ядро An_{50}) са с дължина до 2—3 mm и изграждат около 25—30% от скалата. Моноклинният пироксен е дребен (до 1 mm), безцветен и по оптични данни отговаря на диопсид-авгит. Амфиболът е плеохроитен (червено-кафяв до жълтозеленикав) и често е опацитизиран. Биотитът се характеризира с непостоянно присъствие; образува индивиди до 1—2 mm, има изразен плеохроизъм от кафяво-зелен до светложълт и почти винаги е опацитизиран. Латитовите лавобрекчи се състоят от късове от латити (с големина до 30 см) и латитова спойка. Андезитите прехождат от пироксен-биотитови в амфибол-биотитови или само в биотитови (Радонова, 1973). Иванов (1972) за този район засебява мелалатити и лампролатити, като лампролатитите се отличават от латитите само по химизъм.

Вторият среднокисел вулканизъм е представен от дребно- до среднопорfirни латити и латитоандезити и от едропорfirни латити до трахити. Преобладават дребно- до среднопорfirните биотит-пироксенови до пироксен-биотитови латити, които не се различават съществено минераложки и по химизъм. Съдържанието на порfirния плагиоклаз (лабрадор до андезин-лабрадор) достига 20—30%. Плагиоклазът е плочест, с дължина 3—4 mm, а при среднопорfirните — до 7—8 mm. Съществен белег на среднопорfirните латити е появяването на калиев фелдшпат (санидин) в порfirната генерация. Характерна особеност на латитите и латитоандезитите е, че са двупироксенови. Моноклинният пироксен (авгит, $c \wedge N_g = 45^\circ$) е с размери 1—2 mm, почти безцветен, а ромбичният (бронзит-хиперстен) образува прizматични форми до 0,4—0,5 mm и е със слаб плеохроизъм.

По-слабо разпространени са дребнопорfirните пироксен-биотитови латити и едропорfirните латити до трахити, които ще бъдат разгледани съответно в участъците Пилашево и Брястово, където са широко развити.

Както вече се спомена, в участъка Сърница — Спахиево се разкрива Сърнишката интрузия, изучена в минералого-петрологически аспект от Марудчиев, Ботев (1966) и в структурно-морфологически от Малаков, Димитрова (1973). Основната част на интрузивното тяло е съставена от монционитоиди, сиенити и гранит-аплити. Монционитоидите са изградени от плагиоклаз (An_{42-49}), калиев фелдшпат ($-2 V = 55^\circ$), пироксен ($c \wedge N_g = 41^\circ$), амфибол ($c \wedge N_g = 10^\circ$), биотит, кварц, а сиенитите — от плагиоклаз (An_{37-45}), калиев фелдшпат ($-2 V = 55^\circ$), пироксен ($c \wedge N_g = 38^\circ \div 40^\circ$), амфибол, биотит, кварц. Аксесорните минерали са: магнетит, апатит, циркон, титанит (в изкуствени шлихи има също рутил, гранат, монацит, илменит). Структурата на монционитоидите е хипидиоморфнозърнеста с преходи към алогриоморфнозърнеста, докато при сиенитите освен хипидиоморфнозърнести се наблюдават сериално-порfirна и импликационна. В аплит-гранитите основни минерали са калиевият фелдшпат и кварцът, а плагио-

класът и биотитът са с подчинено значение (Марудчиев, Ботев, 1966).

Що се отнася до неизучената Мезарлъксъртска интрузия, твърде възможна е нейната общност в дълбочина със Сърнишката, както предполагат Йосифов и др. (1990).

Посткалдерните вулканити в участъка са представени от кварц-трахити, фелзитови риолити и по-малко мелалатити. По-насите на тях е площта между Мечковецкия разломен сноп и линията Сърница—Спахиево, а така също и около Сърнишкия разлом.

Трябва да се отбележи, че за схемата на магматизма във вижданията на различните автори има съществени различия. Несъмнено важни са въпросите за хронологкото положение на Сърнишката интрузия, на хидротермалната дейност и орудяванията. Сърнишката интрузия се приема за по-стара от вулканитите (Радонова, 1974), по-млада от едропорфирните латити, но преди риолитовия вулканизъм (Иванов, 1972) или по-млада от него (Марудчиев, Ботев, 1966), или най-общо синхронна на вулканизма (Янев, Харковска, 1981). По данни на Lillov et al. (1987) абсолютната възраст на интрузията е 31,5 Ma.

В участък Сърница—Спахиево поради широкия обхват на хидротермалната дейност и скалите, които изглеждат свежи, всъщност са засегнати от промени. За пропилитите са отделени следните фациеси на изменение (Радонова, 1973): актинолит-епидотов — единична проява северно от с. Сърница; епидот-хлорит-албитов — разпространен в района северно от с. Сърница (вр. Саже); серицит-калцит-хлорит-албитов — с най-широко разпространение; серицит-хлорит-албитов \pm турмалин — преходен към серицит-кварцовия фациес; серицит-кварцов — много характерен за месторождение Саже и южно от вр. Калето с минерален състав кварц, серицит, пирит, \pm хематит, рутил, вторичен титанит, апатит.

В отбелязаните фациеси на пропилитизация се вижда, че на албитизацията се отделя широко място. Преглеждането на голям брой шлифи от шлифотеката на Т. Радонова в Геологическия институт на БАН, както и микроскопирането на материали от редица сондажи от участъка позволяват да се твърди, че албитизацията по-силно е развита в дълбочина, главно около вр. Саже и др.

По отношение на вторичните кварцити за участъка Радонова (1973) отделя дикитови, алунитови, диаспорови кварцити и монокварцити. Към тях следва да се добавят серицитовите кварцити^{*} като преход към типичния кварц-сериицитов фациес на пропилитите.

Серицитови кварцити — обикновено не се установяват на повърхността. Те са сиви до жълтениковобели скали, изградени главно от серицит, развит псевдоморфно по порфирните минерали и по основната маса или образуващ гнездовидни струпвания заедно с прекристализирал и новообразуван кварц.

Дикитови кварцити — оформят неиздържани зони около алунитовите кварцити при с. Сърница (Гаджовска и Хайазова чука, източно от вр. Чамлъка), западно от с. Спахиево. Те са бели на цвят, понякога порцелановидни и са изградени от кварц, дикит, каолинит, рутил, малко пирит.

Алунитови кварцити — заемат големи площи югоизточно от с. Сърница и западно от вр. Чамлъка. Преходът от дикитовите кварцити към тях е

¹ Съгласно Наковник (1964) приемаме, че принадлежността на кварц-сериицитовите скали към формацията на вторичните кварцити се определя от появата в тях на редки зърна или прожилки от дикит, пирофилит, алунит, диаспор и др.

Таблица 2

Химичен състав на метасоматично изменени скали от участък Пилашево (съдържания в тегл. %)

Компоненти	Проба					
	1	2	3	4	5	6
SiO ₂	53,02	56,62	86,62			
TiO ₂	0,84	0,77	0,01			
Al ₂ O ₃	15,94	16,73	5,84			
F ₂ O ₃	7,20	5,43	1,24			
FeO	1,03	1,31	0,41			
MnO	0,10	0,20	0,03			
MgO	5,20	2,26	0,49			
CaO	1,98	6,02	0,39			
Na ₂ O	3,51	3,19	0,19	0,38	0,34	0,10
K ₂ O	5,86	3,61	2,74	10,20	3,89	2,33
P ₂ O ₅	0,46	0,44	0,12			
H ₂ O ⁻	1,29	0,77	0,27			
H ₂ O ⁺	2,85	2,72	1,39			
CO ₂	0,51	—	—			
S	0,02	0,05	0,01			
Сума	99,81	100,12	99,75			

Задлежка. Пробите са: 1 — хлоритизиран и карбонатизиран латит; 2 — серицитизиран латит; 4 — серицитизиран, карбонатизиран и адуларизиран латит; 3, 5, 6 — кварц-адуларова жила.

постепенен — чрез междинна зона от дикит- и алунитсъдържащи кварцити, като съответно съдържанията на дикит и алунит нарастват с приближаване към основните фации. Алунитовите кварцити са ръждивобели, бели с розов оттенък, с петна и ивици от железни хидроокиси. Често те са червеникави от наличието на хематитов пигмент. Изградени са от алунит, кварц, каолинит, дикит, рутил, малко пирит, хематит, апатит. Според Радона (1973), макар и рядко, присъства и топаз (?). Независимо от високата степен на промяна се запазват реликти от първичната текстура и структура, като най-добре изпъкват текстурните особености на лавобрекчите. Освен лимонит от супергенните минерали широко е развит ярозит в прожилки и гнезда. По-слабо засегнатите от повърхностните процеси алунитови кварцити са светлосиви до кремави, здрави, с неправилен или мидест лом скали с варираща порестост до 20%.

Диаспоровите кварцити оформят масивите на вр. Чамлъка, вр. Калето, вр. Аида и Иринджийски връх. В един от случаите те са изградени от финозърнест кварц и диаспор, който образува неправилни агрегати или единични кристали, или в гнезда и прожилки заедно с дикит. В други случаи (на прехода към алунитовите кварцити) в тях се наблюдава и алунит. Установената жилна диаспорова минерализация в алунитовите кварцити е относително по-късна и е свързана с развитието на тектонски нарушения с посока 90–110° в местността Хайазова чука.

Монокварцитите са сивобели, много здрави скали, съставени от микрозърнест кварц с малко примеси от рутил и диаспор.

Освен разгледаните метасоматити, в участъка широко разпространение имат и проявите на адуларизация.

Една от добре изразените хидротермални зони с адуларизация се намира южно от с. Сърница. Тя представлява морфологически добре засебена жила с дължина около 500 м и дебелина до 1 м, с почти изток-западна по-

сока, отвесно или стръмно наклонена на север (80 — 85°). Морфологията на зоната е неиздържана поради по-късни тектонски нарушения (около 20°) с разседно-отседен характер. Минералният ѝ състав е кварц, адулар, серицит, карбонат, барит, галенит, сфалерит. В централните най-интензивно изменени части преобладават кварц и адулар. Около кварц-адуларовата жила вместващите дребнопорfirни латитоандезити са интензивно променени. Измененията (в интервал 3 — 4 м) бързо прехождат отвътре навън от серицит+карбонат+хлорит в карбонат+хлорит. В най-външните зони плагиоклазът частично е заместен от адулар.

В табл. 2 е показан химичен състав на скали от зоната на адуларизация (съдържание в тегл. %).

Изследваните преби с рудна минерализация съдържат Pb и Zn до 10%, Cu (до 0,6%), Ba (0,6%), а в една от тях има значително съдържание на Cd (над 1%). Анализираните 5 преби за злато са със съдържание под 1 g/t.

Източно от тази зона и перпендикулярно на нея има друга подобна (дебела 30—40 см), която с прекъсване се следи около 300 м. В тази зона обаче независимо от силното окварциране адуларизацията е по-слаба. На мястото на пресичане на двете зони се повишава количеството на барита. Взаимоотношенията между него и адулара не са напълно ясни.

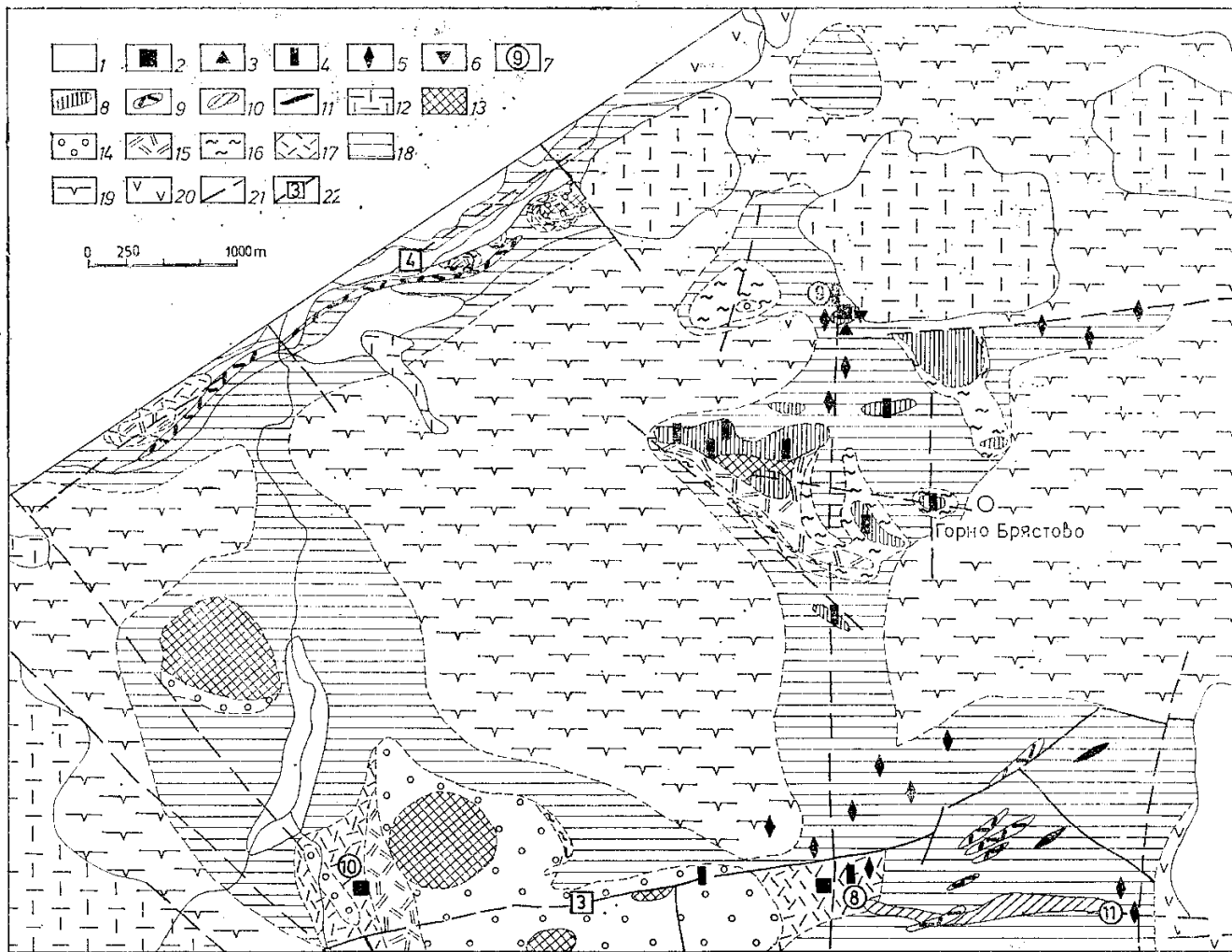
Подобни, но по-слабо изявени на повърхността зони на адуларизация има в местността Иредже дере (югозападно от с. Спахиево) с продължение към вр. Хасара (западно от с. Сираково), около вр. Саже и вр. Гаджовска чука (при с. Сърница). Все още недостатъчни са данните за зоната при с. Спахиево, като засега са установени кварц, адулар, хлорит, карбонат, галенит, сфалерит. Адуларът в монционите от Сърнишката интрузия образува мономинерални прожилки, които пресичат серицитизиран фелдшпат.

Участък Брястово

Този участък (фиг. 5) е отделен от участъка Сърница—Спахиево от Мечковецкия дислокационен сноп, западната му граница е Сърнишкият разлом, на север граничи с участък Пилашево и участък Сусам по Пилашевския разломно-дайков сноп, а на изток се простира до границата с плиоценските и кватернерните наслаги. Подобно на южния участък и този може да се приеме като тектонски блок. Най-нови данни за вулкано-тектонската позиция и генезиса на полиметалните орудявания в находище Брястово дават Георгиев, Милованов (1989). Бортовите разломи, с които те ограничават т. нар. Брястовски грабен, по същество съвпадат с Мечковецкия дислокационен сноп на юг и с Пилашевския разломно-дайков сноп (Боянов, Маврудчиев, 1961) или Буковска разломна зона — на север.

За участъка са характерни широко развитие на едропорfirни (на места до трахити) и среднопорfirни латити, няколко по-големи тела от риолити и слаба проява на дайки. На повърхността няма данни за пряко продължение на Чамлъшкия разлом от южния участък Сърница—Спахиево. Вероятно той се прекъсва и отмества в източна посока от Мечковецкия разломен сноп. По степен на измененост участъкът се отличава с различна интензивност в плоцно отношение.

Едропорfirните латити са изградени от впръслеци от плагиоклаз, калиев фелдшпат, пироксен и биотит — включени в основна маса от плагиоклазови и санидинови микролити. Едропорfirният облик се дължи на впръслеци от плагиоклаз и единичните впръслеци от калиев фелдшпат. Плагиоклазът (An_{42-65}) образува индивиди с размери до 1—2 mm. Калиев



Фиг. 5. Геоложка карта на уч. Брястово (Боянов, Маврудчиев, 1961; Иванов, 1972, с допълнения)

1 — кватернер, плиоцен; 2 — зони с фосфатна минерализация, 3 — зони на зеолитизация, 4 — зони на баритизация, 5 — зони на адуларизация, 6 — зони на флуоритова минерализация, 7 — рудно находище, 8 — зони на окварцяване; III кисел вулканизъм: 9 — фелзитови риолити, 10 — кварцтракхити, III среднокисел вулканизъм: 11 — мелалатити; II кисел вулканизъм: 12 — риолитов комплекс; II среднокисел вулканизъм: 13 — монокварцити, 14 — диаспорови кварцити, 15 — алунитови кварцити, 16 — аргиллизити, 17 — кварц-серицитови метасоматити, 18 — пропилити, 19 — едро- до среднопорfirни латити и трахити, 20 — мелалатити и дребнопорfirни латити; 21 — разломи; 22 — по-важни разломи: 3 — Мечковецки, 4 — Пилашевски

Fig. 5. Geological map of the Brjastovo region (Боянов, Маврудчиев, 1961; Иванов, 1972 with additions)

1 — Quaternary, Pliocene; 2 — Zones with phosphate mineralization, 3 — zones of zeolitization, 4 — zones of baritization, 5 — zones of adularization, 6 — zones the fluorite mineralization, 7 — ore deposit, 8 — zones of quarttization; IIIInd acid volcanism: 9 — felsitic rhyolites, 10 — quartz-trachytes; IIIInd — intermediate volcanism: 11 — melalatites; IIInd acid volcanism 12 — rhyolites complex; IIInd intermediate volcanism: 13 — monoquartzites, 14 — diaspor quartzites, 15 — alunite quartzites, 16 — argillizites, 17 — quartz-sericite metasomatites, 18 — propilites, 19 — coarse- to medium porphyric latites and trachytes, 20 — melalatites and fine porphyric latites; 21 — faults; 22 — more important faults: 3 — Mečovec, 4 — Pilachevo

вият фелдшпат е санидин — обикновено бистър до бял, плочест, понякога зонален, с дължина до 2—3 mm. Моноclinният пироксен (авгит до диопсид-авгит, $c \wedge N_g = 38^\circ \div 44^\circ$) е почти безцветен до бледозелен със слаб плеохроизъм. Размерите му достигат 2—3 mm. Освен него се наблюдават и дребни кристалчета от ромбичен пироксен, който е малко по количество. Биотитовите впръслеци обикновено достигат 1—2 mm, по-рядко до 4 mm, плеохроират

в кафяви до светложълти тонове. По-слабо е застъпен амфиболът. Апатитът е два вида: безцветен и кафеникав със slab плеохроизъм; размерите му са 0,3—0,5 mm.

Описаните латити по външен вид и петрографски състав не се отличават от латитите, които залягат в Сърнишката калдера непосредствено под туфите на II кисел вулканизъм. По тези съображения Иванов (1972) ги отнася към II среднокисел вулканизъм.

Съществуването на трахити е отбелязано още от Hussak (1883). Иванов (1960) отнася тези скали към II среднокисел вулканизъм, докато Боянов, Марудчев (1961) ги причисляват към „ефузията на биотит-пироксеновите латити и андезити.“

Най-достъпното разкритие на трахити се намира на шосето, на около 200 m източно от хижа „Аида“, където се наблюдават най-запазените скали не само за разглеждания участък. Трахитите (които по състав и химизъм не се отличават от едропорфирните латити) са тъмнозелени до черни, като на този фон рязко изпъкват едрите (до 3—4 cm) санидинови кристали. Тяхното разположение обуславя плоскопаралелни структури на течение. Структурата на скалите е трахитова. Възрастта на трахитите е 31,5 Ma (Lilov et al., 1987).

За развитието на хидротермалните изменения следва да се отбележи виждането на Рашков (1962) за образуването на диаспорови вторични кварцити по едропорфирни латити — в резултат на солфатарно изменение. За разлика от него Радонова (1973) приема, че едропорфирните латити са засегнати само от по-късните окологилни изменения, свързани с оловно-цинковите орудявания. Според нея вторичните кварцити са образувани само по дребно- до среднопорфирния андезито-латитов комплекс. Някои наблюдения в зоните с хидротермални изменения и новите данни от сондажните работи в съседния южен участък (едропорфирните латити в местността Калето) подсказват, че измененията и на едропорфирните латити и трахити достигат до вторични кварцити.

От фациесите на пропилитите (в хоризонталната метасоматична зоналност) са установени главно епидот-хлорит-карбонатов и хлорит-серийт-карбонатов с почти повсеместно присъствие на бистър и кафеникав апатит. Пироксенът и амфиболът се заместват от хлорит и карбонатов минерал.

Аргилизацията е един от типичните белези за участък Брястово. Недостатъчната разкритост на повърхността и налагането на супергенината върху ендогенната аргилизация затрудняват изследванията, затова много ценна информация за развитието на процеса в хоризонтална и вертикална посока дават прокараните сондажи в местността Рамаданска чука и в землището на с. Горно Брястово. При ендогенната аргилизация псевдоморфно и в прожилки се развиват главно каолинит, серицит, хидрослюда и хлорит, рядко монтморилонит. Дебелината на зоните варира от десетки см до десетки m. Получените досега данни позволяват да се очакват добри резултати в изучаването на минералологията и зоналността на аргилизитите след приключването на сондажните работи в участъка.

Преходът към алунитовите кварцити се осъществява чрез непостоянни и неиздържани зони от каолинит-дикитови кварцити. Основните материали, които ги изграждат, са кварц, каолинит и дикит; с променливо (но минимално) съдържание са алунитът и серицитът.

Установяването на серицит-диаспор-пирофилитови кварцити с алунит на 320 m дълбочина в местността Рамаданска чука предполага известна промяна на физикохимичните условия. Пирофилитът се развива в основната ма-

са, по порфири и в прожилки, понякога заедно с пирит и диаспор, по-рядко с алунит.

Алунитовите кварцити заемат част от площите с хидротермално изменени скали в местността Света Неделя и Рамаданска чука. В някои случаи (местността Света Неделя) те оформят и греди с посока около 100—130° и 180° при видима дължина до 100 м и дебелина до 10 м. На места текстурните особености на изходните скали са частично запазени, което позволява добре да се разграничават лавобрекчите от порфирните вулканити (напр. местността Света Неделя). В зависимост от развитието на супергенната минерализация алунитовите кварцити са сиви, ръждивоизбелели, виолетово-червеникави до розови. Изградени са от кварц, алунит, глиnestи минерали (каолинит, дикит) — до 10%, железни хидроокиси, ярозит, \pm диаспор, \pm пирит, \pm хематит.

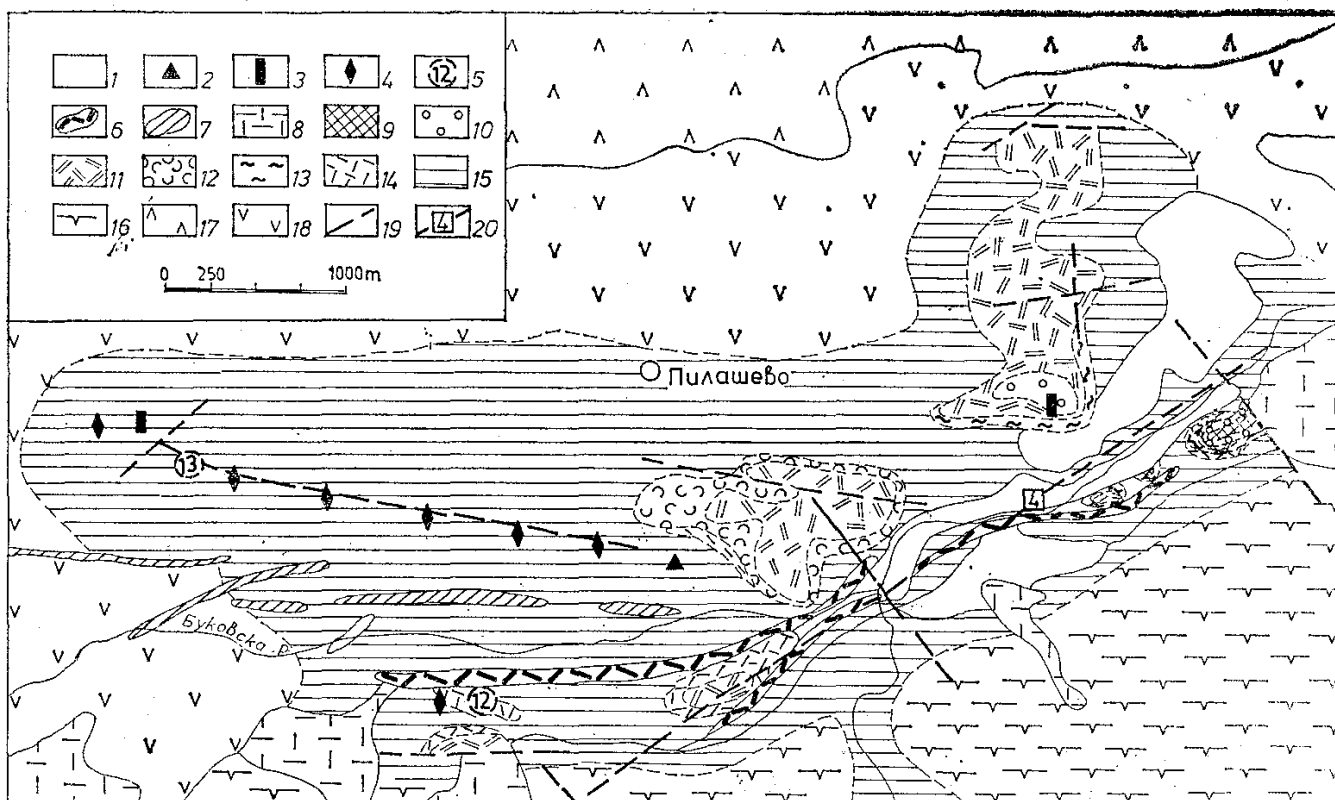
Диаспоровите кварцити имат постоянно място в метасоматичната зоналност. Прехождат от алунитовите кварцити, но без ясни взаимоотношения между диаспора и алунита. В състава им преобладава кварц (до 70%), количеството на диаспора не надвишава 25%, каолинитът и дикитът само понякога достигат 5—10%.

По-големи тела от монокварцити се наблюдават в местността Света Неделя и Рамаданска чука и непосредствено западно от р. Узундере. Те оформят неправилни или линейни изтеглени тела. Изградени са почти само от кварц, но могат да съдържат и малко диаспор.

Важно отношение към рудните минерализации имат зоните на окварциране всред пропилитите и аргилизитите. Първоначално се появяват единични прожилки от кварц \pm сулфиди, постепенно окварцирането се увеличава (гнезда и прожилки) и се преминава в зони на плътно окварциране, на места с пукнатини и кухини. Зоните на окварциране с рудни минерализации се съпровождат често от барит, карбонат, серицит, хидрослюд, хлорит, адулар, флуорит, стилбит.

Калиевата фелдшпатизация е едно от най-характерните явления. Често изменените скали са пресечени от розов калиев фелдшпат в прожилки с дебелина до 1,5 см. Освен това се установява широко по площно развитие на калиев фелдшпат, заместващ псевдоморфно плагиоклазите (особеност е вълновидното или мозаичното потъмняване). Нерядко (най-вече това се наблюдава в дълбочина) се срещат кварц-адуларови прожилки с типичните за адулара ромбични форми. Засега са повече данните за зоните на калиева фелдшпатизация в находище Чала, което до известна степен може да се обясни и с извършените там минни работи. Зоните са наложени върху предрудни хлорит-серицит-карбонатови пропилити. Калиевата фелдшпатизация е свързана с орудяването и околожилните изменения. Около кварц-адулар-сулфидните жили се проследяват кварц-серицитови зони с дебелина до 50—60 см, по-рядко до 1—2 м. Освен кварц, серицит и адулар в зоните се наблюдават хематит, сфалерит, галенит, \pm халкопирит, злато, сребро, а в някои случаи и вторични фосфати (туркоаз, варисцит, какоксенит и др.), ярозит.

По-слабо проявени на повърхността са зоните на адуларизация северозападно и североизточно от с. Горно Брястово, които се характеризират с варираща (до няколко см) дебелина на кварц-адуларовите прожилки. Анализите на пробы от кварц-адуларови жили показват следните съдържания за Na_2O и K_2O (в тегл. %): травербан 9 (обр. 1) — 0,31 и 7,73; травербан 10 (обр. 24) — 0,32 и 10,90; травербан 10 (обр. 6) — 0,46 и 11,62; травербан 11 (обр. 1) — 0,62 и 10,51; травербан 11 (обр. 2) — 0,78 и 8,74; сондаж 535 — 0,56 и 8,40.



Фиг. 6. Геологичка карта на уч. Пилашево (Боянов, Маврудчиев, 1961; Иванов, 1972, с допълнения)

1 — кватернер, плиоцен; олигоцен; 2 — зони на зеолитизация; 3 — зони на баритизация; 4 — зони на адуларизация, 5 — по-важни зони с рудни минерализации; III кисел вулканизъм: 6 — фелзитови риолити, 7 — кварцтрахити; II кисел вулканизъм: 8 — риолитов комплекс; II среднокисел вулканизъм: 9 — монокварцити, 10 — диаспорови кварцити, 11 — алюнитови кварцити, 12 — каолинит-дикитови кварцити, 13 — аргиллизити, 14 — кварц-серицитови метасоматити, 15 — пропилити, 16 — едро- до среднопорфирни латити и трахити, 17 — дребнопорфирни латити, 18 — мелалатити и дребнопорфирни латити; 19 — разломи; 20 — по-важни разломи: 4 — Пилашевски

Fig. 6. Geological map of the Pilashevo region (Боянов, Маврудчиев, 1961; Иванов, 1972 with additions)

1 — Quaternary, Pliocene; Oligocene: 2 — zones of zeolitization, 3 — zones of baritization, 4 — zones of adulardization, 5 — more important zones with ore mineralization; III Ind acid volcanism: 6 — felsitic rhyolites, 7 — quartztrachytes; II Ind acid volcanism: 8 — rhyolite complex; II Ind intermediate volcanism: 9 — monoquartzites, 10 — diaspore quartzites, 11 — alunite quartzites, 12 — kaolinite-dickite quartzites, 13 — argillizites, 14 — quartz-sericite metasomatites, 15 — propylites, 16 — coarse- to medium porphyritic latites and trachytes, 17 — fine porphyritic latites, 18 — mela latites and fine porphyritic latites; 19 — faults; 20 — more important faults: 4 — Pilachevo

Участък Пилашево

Участъкът обхваща (фиг. 6) Пилашевския разломно-дайков сноп (Боянов, Маврудчиев, 1961) и площа, заета от мелалатити и дребнопорфирни латити (Иванов, 1971), между с. Воден от изток и местността Превиен габер на запад. Най-важна структурна единица е разломно-дайковият сноп, който в по-общи линии се отбележва и от аерофотоснимките (Серафимов, 1979).

Трудно е да се оцени какво е заложението на Пилашевския разломно-дайков сноп, но е твърде вероятно като разломна структура то да е по-старо (даже с докалдерно зараждане). За дайките с голяма сигурност може да се приеме, че внедряването им е свързано със следкалдерни процеси. Всички данни (тектонски движения, хидротермални изменения, рудни минерализа-

ции) показват, че тази радиална спрямо Сърнишката калдера структура се характеризира с продължителна активност (Иванов, 1972).

В петрографско отношение не се наблюдава разнообразие в изходните скали. Разкриващите се тук дребнопорfirни пироксен-биотитови латити в сравнение с тънката лавова прослойка в участък Сърница—Спахиево образуват по-мощен разлив. В отделни случаи те се съпровождат и от туфи. Латитите са сивочерни до виолетовочервеникави при по-обилна хематитова пигментация. В състава им участват плагиоклаз (андезин-лабрадор), биотит (червенокафяв-светложълтокафяв, често опацитизиран), моноклинен (диопсид-авгит), малко ромбичен пироксен и акцесорните минерали — апатит и магнетит.

Хидротермалната дейност е изразена в пропилитизация и аргилизация, в образуването на вторични кварцити, в адуларизация и баритизация, в рудни минерализации и др. От фациесите на пропилитите най-разпространени са серцит-хлорит-карбонатовият и хлорит-карбонатовият, съпроводени от неравномерна и непостоянна албитизация. Кварц-серицитовият фациес в хоризонталната зоналност е почти постоянно, но неиздържан, докато епидот-хлорит-карбонатовият е епизодичен. Много често е проявена и характерната за пропилитите пиритизация.

Зоните на аргилизация на повърхността са редки и маломощни; скалите са изградени от кварц, глиести минерали (каолинит и дикит), серицит и \pm алунит.

От вторичните кварцити са доказани каолинит-дикитови, алунитови, диаспорови и монокварцити. Каолинит-дикитовите кварцити оформят малки изометрични или удължени разкрития в местността Одуналъка — на прехода с пропилитизираните скали или сред алунитовите кварцити. Цветът им варира от светложълтеникав до виолетов в зависимост от хематитовата пигментация. Изградени са от кварц, каолинит и/или дикит до 30%, като примеси могат да се появят диаспор или алунит.

Алунитовите кварцити са най-разпространени в масивите на местностите Борето и Одуналъка и участват в метасоматичната зоналност на изменените скали по южния бряг на р. Чулфанска. Освен изометрични тела те оформят и греди с дължина около 100 м и дебелина 5—10 м. Алунитовите кварцити са ръждивобели, виолетовочервеникави до розови, по-рядко сивожълтеникави. Освен кварц и алунит, които изграждат 80—90% от скалата, съдържат още каолинит (по-рядко дикит) около 5—15%, \pm диаспор, \pm пирит и хематит, ярозит и железни хидроокиси. В един случай — южно от р. Чулфанска, алунитовите кварцити съдържат около 30—50% компактен спекуларит, което свидетелствува за особено висок кислороден потенциал при тяхното образуване. Сравнително най-чисти за всички разглеждани участъци са алунитовите кварцити в северозападната част на местността Одуналъка.

Диаспоровите и диаспорсъдържащите кварцити нямат широкоплощно разпространение. Досега са установени в разкрития по южния склон на местността Борето, около паметника на Д. Пилашев, в местността Одуналъка и непосредствено западно от разлома, отделящ вторичните кварцити от риолитите в местността Черната скала. Скалите съдържат кварц, диаспор (5—15%, а в последното посочено разкритие — на места до 60%), каолинит, железни хидроокиси. Цветът на скалите е червеникаворъждив до сивобял. По пукнатините са образувани бял каолинит и единични диаспорови кристалчета до 2—3 mm.

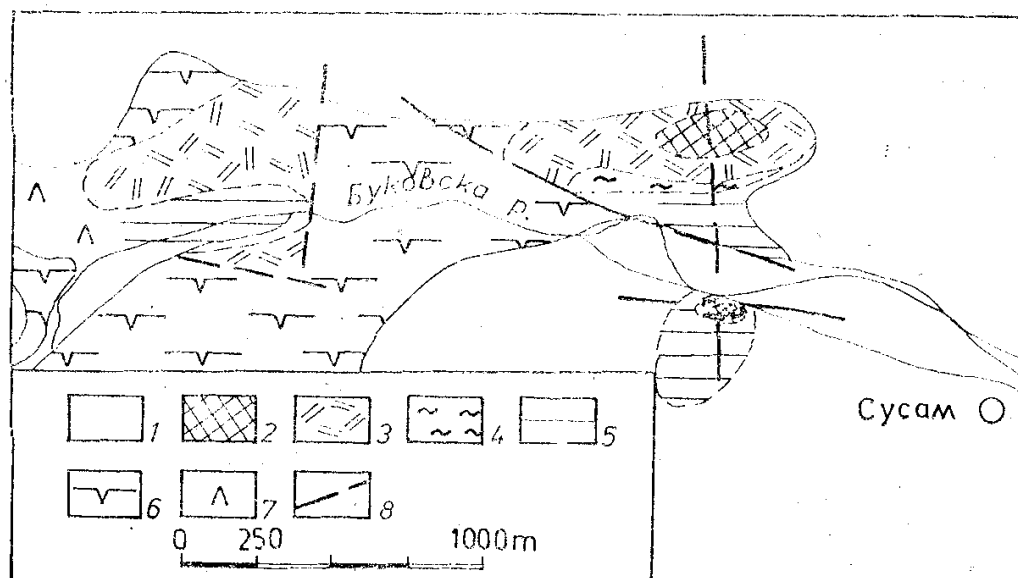
Монокварцитите образуват няколко малки разкрития. Съставени са главно от кварц (до 97—89%), рутил, а на преходите към диаспоровите кварцити съдържат и 1—2% диаспор.

В района западно от с. Пилашево сред пропилитизираните дребнопорфирни латити (главно хлорит-серицит-карбонатов фациес) се разполага зона на адуларизация, оформена от няколко субпаралелни „греби“. В най-западната част зоната има посока около 130° , която след североизточен разлом се изменя до изток—западна. Дебелината на отделните жили е до 1 м, на местата с раздуви — до 3 м. Минералният състав на зоната е: кварц, адулар, серицит, карбонат, \pm барит, галенит, сфалерит, хематит, \pm плumbоярозит и ярозит. Централната част е изградена от кварц и адулар \pm серицит, следва зона от серицит + адулар \pm кварц, а най-външната — от серицит + кварц + хлорит + адулар. В близост до кварц-адуларовите прожилки се наблюдава уедряване на серицита. Същевременно адулар се среща и сред серицитизираните латити до контакта с кварц-адулар-сульфидните жили. Резултатите от анализите показват високо съдържание на K_2O (7,25, 7,70 и 8,70% в кварц-адуларови жили и 11,21% в серицитизиран и адуларизиран латит) и Ba, а в зоните на орудяване — на Pb, Zn и As. В някои от пробите е установено наличие на злато — под 1 g/t.

Зоните южно от с. Пилашево и р. Чулфанска не са добре изразени на повърхността. В тях окварцоваването и адуларизацията са по-слабо проявени.

Участък Сусам

Разположен е (фиг. 7) между с. Сусам и с. Воден, главно по северния бряг на р. Буковска. С изключение на югозападната му част, отвсякъде е ограден от плиоценски и кватернерни наслаги. Това затруднява геологоструктурната му характеристика. Общо взето, и тук са проявени основните за периферната част на Боровишкия район северо-южни и източно-запад-



Фиг. 7. Геологичка карта на уч. Сусам (Боянов, Маврудчиев, 1961; Иванов 1972; Кунов и др., 1981, с допълнения)

1 — кватернер, плиоцен; олигоцен: II среднокисел вулканизъм: 2 — монокварцити; 3 — алунитови кварцити и опалити, 4 — аргиллизити, 5 — пропилити, 6 — едро- до среднопорфирни латити, 7 — дребнопорфирни латити; 8 — разломи

Fig. 7. Geological map of the Susam region (Боянов, Маврудчиев, 1961; Иванов, 1972; Кунов et al., 1981 with additions)

1 — Quaternary, Pliocene; Oligocene: II Ind intermediate volcanism: 2 — monoquartzites, 3 — alunite quartzites and opalites, 4 — argillizites, 5 — propylites, 6 — coarse to medium porphyritic latites, 7 — fine porphyritic latites; 8 — faults

ни разломи. В участъка се разкриват дребно- до средно- и едропорфирни латити до трахити от II среднокисел вулканизъм, придружен от малки количества лавобрекчи, а почти непосредствено северно от с. Сусам (Таушан тепе) — от трахити. Дайките са сравнително рядко явление. Една от тях по минераложки състав се доближава до шошонити — плагиоклаз, моноклинен \pm ромбичен пироксен, опацитизиран биотит, апатит, титаномагнетит и основна маса — плагиоклазови и санидинови микролити, моноклинен пироксен, руден минерал. Трахитите са изградени от моноклинен и ромбичен пироксен, биотит, плагиоклаз, санидин, титаномагнетит и акцесорен апатит. В характеристиката на латитите не се отбележват никакви отклонения от вече описаните за другите участъци.

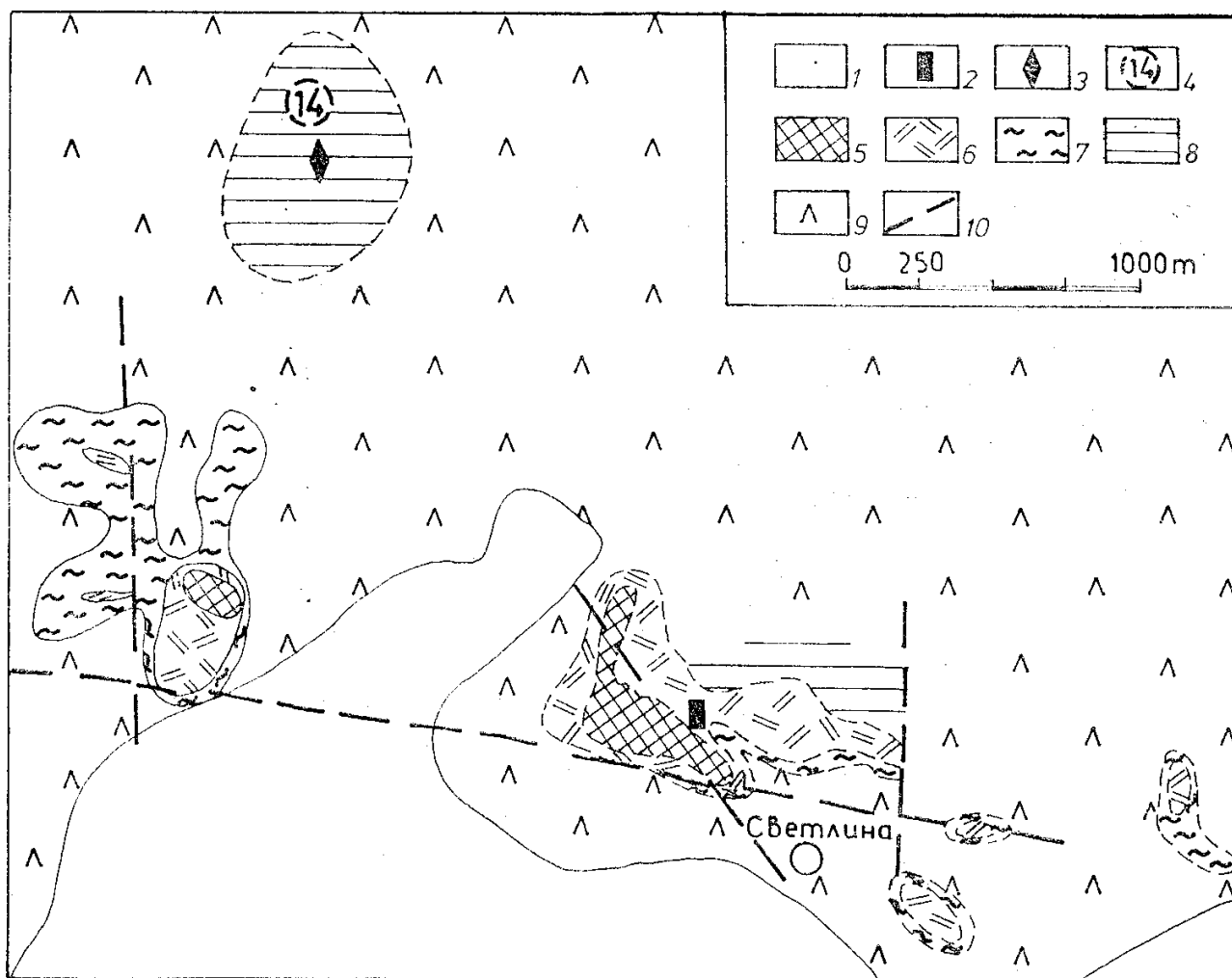
Хидротермалните изменения обхващат всички порfirни разновидности на латитите. Поради недобрата разкритост наличната информация за пропилитите и аргилизитите е недостатъчна. Вероятно тук обаче се намесва и един основен фактор — характерът на хидротермалната дейност. В хоризонталната зоналност липсват или непълно са развити типичните за пропилитите минерални асоциации — наблюдава се частична карбонатизация или се развиват хлорит и хидрослюдя. Най-често преходит между вторичните кварцити и неизменените скали се осъществява чрез зони на опализация и аргилизация (опал, хидрослюдя, глиnestи минерали, каолинит и монтморилонит, халцедон), които в редица случаи съдържат и малки количества алуният. Тези белези, както и изометричната форма на изменените зони показват, че е възможно измененията да са подобни на тези, свързани със съвременна поствулканска дейност. Разпространението на изменените скали позволява да се предположи, че солфатарната дейност е имала два центъра на активност — единият по-близо до западния край на с. Сусам, а другият — източно от с. Воден.

Във фациално отношение не се установява разнообразие. Наблюдават се само алунизови кварцити, алунизови опалити и монокварцити, които на места са диаспорсъдържащи. Алунизовите кварцити са сивобели до червеникови, напукани и натрошени. В зоната на преминаване към диаспорсъдържащите кварцити се наблюдават и силно тектонски обработени блокове (2×3 m) с изглед на брекча с късове до 30 см. Рядко се забелязват реликти от структурата на изходните скали. Минералният състав е: кварц, алуният — до 50%, каолинит — до 5%, малко рутил и в различни количества лимонит, хематит и ярозит. Алунизовите опалити са жълтеникови, кремави, червеникови до виолетови, често петнисто оцветени. Те са напукани и трошливи; понякога строежът им е мозаичен, като личат реликти от порfirната структура на първичните скали. Основни минерали са опал и алуният (до 40—50%), в умерени количества са глиnestите минерали — каолинит и монтморилонит (до 10%), а количеството на железните хидроокиси, хематита и ярозита е променливо, нерядко опалът прехожда в халцедон и кварцин.

Монокварцитите са сивобели до сиви, здрави и плътни скали, които се наблюдават в неголеми разкрития около параклиса „Св. Неделя“. Изградени са от кварц (до 98%), \pm диаспор, \pm рутил.

Участък Светлина

По непубликувани данни на геоложката картировка в M1:100 000 (Иванов и др., 1956) в района на с. Светлина се очертава ивица от дебелослойни среднозърнести пясъчници с многобройни дребни късове и окременени дървета. Пясъчниците затъват на север със slab наклон и се покриват от латитови туфобрекчи и бели пепелни туфи. Западно от тези места върху латитови



Фиг. 8. Геологичка карта на уч. Светлина (Боянов, Маврудчиев, 1961; Иванов, 1956 — непубликувани данни; Кунов и др., 1981)
 1 — кватернер, плиоцен, олиоцен; 2 — зони на баритизация, 3 — зони на адуларизация;
 II среднокисел вулканизъм: 4 — по-важни зони с рудни минерализации, 5 — монокварцити,
 6 — алунитови кварцити и опалити, 7 — аргилизити, 8 — пропилити, 9 —
 дребнопорфирни латити; 10 — разломи

Fig. 8. Geological map of the Svetlina region (Боянов, Маврудчиев, 1961; unpublished report of Ivanov, 1956; Кунов et al., 1981)
 1 — Quaternary, Pliocene; Oligocene; 2 — zones of baritization, 3 — zones of adularization, 4 — more important zones with ore mineralization, 5 — monoquartzites, 6 — alunite quartzites and opalites, 7 — argillizites, 8 — propylites, 9 — fine porphyritic latites; 10 — faults

туфи и туфопясъчници залягат варовици (също по Иванов и др., 1956). Около с. Светлина освен латитовите туфи (зеленикови, с късове до 10 см, много по-рядко по-големи) се наблюдават и дребно- до среднопорfirни латити. Латитите са зелениковочерни до зеленикови при изветряне. Изградени са от плагиоклаз (андезин-лабрадор), биотит (плочест, с плеохроизъм от кафяв до жълто-кафяв), моноклинен пироксен (почти неплехороитен; с $\Delta N_g = 40^\circ \div 45^\circ$), амфибол (?) (напълно опацитизиран). Размерите на порfirните минерали не надминават 3—4 mm. Основната маса е от плагиоклазови и калиево-фелдшпатови микролити, сред които се наблюдава апатит.

По брега на язовира при с. Светлина при ниско ниво на водата се наблюдават и дайкови тела, които по минераложки състав са най-близко до латитите. Поради наличието на плиоценски и кватернерни наслаги разломните структури не се откриват и проследяват добре. Както и в останалите

участъци в периферията на Боровишката депресия основна роля са играли разломите със северно—южна и източно—западна посока. В района на селото се разкриват три по-големи хидротермално изменени зони (фиг. 8): в местностите Курт тепе, Ени кория и Къор бунар. Отличителен белег на първите две са вторичните кварцити, докато последната се характеризира с пропилитизация, адуларизация (адуларизирани латити с Na_2O —0,91% и K_2O —8,02%) и рудни минерализации (с кварц, адулар, анкерит, хлорит, галенит, сфалерит, малахит, азурит). Изучаването на взаимовръзката им, а така също и на зоналността е затруднено от наносната покривка.

От фациесите на пропилитизация в изолирани разкрития са установени хлорит-серицит-карбонатов и кварц-серицитов. Подобно на участъка Сусам преходът към вторичните кварцити е чрез зони на опализация и аргилизация (opal, хидрослюд, каолинит, дикит, монтморилонит, халцедон, кварцин, алунит). За този тип скали подходящ е терминът опалит-аргилизити (Егоров, 1984).

Най-разпространени от вторичните кварцити са алунитовите, представени също в две разновидности: кварцити и опалити. Разположението им създава впечатление за известна последователност в зоналността — след опалит-аргилизитите се оформят зони от алунитови опалити, по-добре застъпени в масива от вторични кварцити — непосредствено до с. Светлина. Алунитовите опалити са жълтеникови до червеникови или петнисти, силно напукани скали. На места личи реликторна дребнопорфирна структура. Изградени са главно от опал и алунит (до 40—50%), глинисти минерали (5—10%), железни хидроокиси, хематит, ярозит, халцедон. Алунитовите кварцити са сивобели, червеникови на цвят, напукани и натрошени, тектонски брекчириани. В състава им освен кварц и алунит (до 70%; разпределението на алунита е неравномерно, особено в лавобрекчите или туфите) има глинисти минерали (каолинит или дикит до 10%), малко опал, рутил, различно количество от лимонит, хематит и ярозит.

Монокварцитите са сивобели, сиви или съвсем черни (засега сред микропримесите не е установен причинителят на черния цвят), а при по-силно ожелезяване имат ръждивочервениково оцветяване. Изградени са от микроърнест кварц (до 98%), халцедон и кварцин (до 20%), диаспор, рутил и неидентифицирани прашести продукти. В монокварцитите понякога се наблюдава ивичестост, която се дължи на прожилките от халцедон. В набелязаната зоналност алунитовите кварцити се свързват с монокварцитите чрез диаспор-съдържащи кварцити. Вероятно и тук, както при с. Сусам, при образуването на вторичните кварцити известно значение са имали обезводняването и прекристализацията на опала.

Пиритизацията на вторичните кварцити и съпровождащите ги фациални разновидности на нивото на разглеждана ерозионен срез е сравнително слабо развита и има неизяснен (син- или епигенетичен) произход. Под влиянието на наложените на вторичните кварцити (с хематит) супергени процеси се образуват ярозит и гипс. В района на с. Светлина са отбелязани и случаи на наложена баритизация на вторични алунитови кварцити.

Л и т е р а т у р а

- Алексиев, Б., Е. Джурова. 1978. Зеолитовите скали от Североизточните Родопи. — Год. СУ, Геол.-геогр. фак., 69, кн. 1 — геология, 79—92.
Атанасов, А. 1965. О причинах формирования первичной зональности полиметал-

- лического оруденения восточной части Родопской рудной области. — В: Конф. проб. постмагм. рудообр. Т. П. Прага.
- Атанасов, А. 1967. Структурни особености на месторождение „Габрово“. — Год. СУ, Геол.-геогр. фак., **60**, кн. 1 — геология, 273—288.
- Боянов, И., Б. Маврудчиев. 1961. Палеогенският магматизъм в Североизточните Родопи. — Год. СУ, Геол.-геогр. фак., **54**, кн. 2 — геология, 113—157.
- Брековска, В., З. Илиев, Б. Маврудчиев, И. Вапцаров, И. Велинов, П. Ножаров. 1976. Маджаровское рудное поле. — Геохим., минерал. и петрол., **5—6**, 23—57.
- Велинов, И., И. Батанджиев, П. Чолаков, Б. Блажев. 1977. Новые данные о соотношениях между структурообразовательными и постмагматическими процессами в Маджаровском рудном поле. — Докл. БАН, **30**, № 12, 1749—1752.
- Велинов, И., М. Горова, И. Батанджиев, Л. Пунев. 1982. Зуниит из вторичных кварцитов Маджаровского рудного поля. — Докл. БАН, **35**, № 4, 483—486.
- Георгиев, В., П. Милованов, 1989. Вулканотектоническая позиция и генетические особенности полиметаллического месторождения Брястово, Спахиевское рудное поле. — Докл. БАН, **42**, № 5, 89—92.
- Горанов, А. 1960. Литология на палеогенските отложения в част от Източните Родопи. — Тр. геол. България, сер. геохим. и пол. изкоп., **1**, 259—310.
- Димитров, Р. 1979. Металлогения Родопского Срединного массива. М., Недра. 180 с.
- Димитров, Д., С. Димитров. 1974. Минералогия и зоналност на оловно-цинковите находища от Спахиевското рудно поле. — Изв. Геол. инст. БАН, сер. рудни и нерудни пол. изкоп., **23**, 135—156.
- Димитров, Д., М. Кръстева. 1974. Температура на образуване на оловно-цинковите находища в Спахиевското рудно поле. — Изв. Геол. инст. БАН, сер. рудни и нерудни пол. изкоп., **23**, 157—174.
- Егоров, О. 1984. Центры эндогенной активности (вулканические системы). М., Наука. 168 с.
- Иванов, Р. 1960. Магматизът в Източнородопското палеогенско понижение. Част първа — геология. — Тр. геол. България, сер. геохим. и пол. изкоп., **1**, 311—388.
- Иванов, Р. 1972. Вулкано-тектонски структури в Боровишкото понижение. — Изв. Геол. инст. БАН, сер. геохим., минерал. и петрogr., **21**, 193—210.
- Йосифов, Д., Б. Манева, А. Цветков, Д. Цветкова, В. Пчеларов. 1990. Геотектоническая позиция и строение Спахиевского рудного поля. — Geol., Balk., **20**, № 1, 45—65.
- Кацков, Н., Г. Шилязов. 1968. По въпроса за магматизма в Източнородопското палеогенско понижение. — Сп. Бълг. геол. д-во, **29**, № 2, 189—195.
- Классификация и номенклатура магматических горных пород. 1981. М., Недра. 160 с.
- Костов, И., Б. Маврудчиев, Л. Филизова, Г. Н. Киров. 1966. Зеолитова зоналност във вулканогения комплекс между Кърджали и Асеновград. — Тр. геол. България, **6**, 143—192.
- Коюмджиева, Е., Л. Драгоманов. 1979. Литостратиграфия на олигоценските и неогенски седименти от Пловдивско и Пазарджишко. — Палеонт., стратигр. и литол., **11**, 49—62.
- Кунов, А., М. Велинова, Л. Пунев. 1981. Новые сведения о вторичных кварцитах в Восточных Родопах. — Докл. БАН, **34**, № 11, 1533—1536.
- Маврудчиев, Б., С. Ботев. 1966. Петрология на Сърнишката интрузия. — Год. СУ, Геол.-геогр. фак., **59**, кн. 1 — геология, 295—324.
- Маляков, И., М. Димитрова. 1973. Структура на Сърнишката интрузия. — Изв. Геол. инст. БАН, сер. геотект., **75**—96.
- Манева, Б. 1973. Върху мезоструктурата на вулканските скали между селата Спахиево и Сърница, Хасковски окръг. — Изв. Геол. инст. БАН, сер. рудни и нерудни пол. изкоп., **22**, 41—50.
- Манева, Б. 1975. Етапи в структурното развитие на Спахиевското рудно поле. — Рудообр. проц. и минер. наход., **2**, 46—58.
- Манева, Б. 1975а. Структура на Спахиевското рудно поле. Автореферат на канд. диссертация, ВМГИ, София.
- Манева, Б. 1980. Морфология на рудоносните зони в Спахиевското рудно поле. — Рудообр. проц. и минер. наход., **13**, 47—56.
- Манева, Б. 1982. Връзка между пукнатините и разломите в Спахиевското рудно поле. — Рудодобив, № 2, 4—7.

- Манева, Б. 1989. Спахиевско рудно поле. — В: Оловно-цинковите находища в България. С., Техника. 258 с.
- Манева, Б., Й. Маляков. 1974. Разломно-блоков строеж на Спахиевското рудно поле. — Изв. Геол. инст. БАН, сер. рудни и нерудни пол. изкоп, 23.
- Марчев, П. 1985. Петрология на палеогенските вулканити в района на селата Безводно и Русалско, Кърджалийско. Автореферат на канд. дисертация, Геол. инст. БАН, София.
- Наковник, Н. 1964. Вторичные кварциты СССР и связанные с ними месторождения полезных ископаемых. М., Недра. 338 с.
- Радонова, Т. 1960. Изследвания върху минераложкия състав и околоврудните изменения на Маджаровското полиметално находище в Източните Родопи. — Тр. геол. България, 1, 115—197.
- Радонова, Т. 1970. Адуляризация вулканогенных пород в Звезделском рудном районе. — Докл. БАН, 23, № 9, 1119—1122.
- Радонова, Т. 1972. Алунит от вторичните кварцити на Спахиевското рудно поле. — Изв. Геол. инст. БАН, сер. геохим., минерал. и петрограф., 21, 85—96.
- Радонова, Т. 1973. Хидротермални изменения на скалите в Спахиевското рудно поле. — Изв. Геол. инст. БАН, сер. геохим., минерал. и петрограф., 22, 141—161.
- Радонова, Т. 1974. Върху възрастта на Сърнишката интрузия. — Сп. Бълг. геол. д-во, 35, № 1, 61—63.
- Радонова, Т. 1975. Зональность и генезис измененных пород Спахиевского рудного поля (Болгария). — В: Метасоматизм и рудообразование. М., Недра, 107—112.
- Рашков, Р. 1962. Диаспорови вторични кварцити в землището на с. Спахиево, Хасковско. — Сп. Бълг. геол. д-во, 23, № 3, 263—274.
- Серафимов, К. 1979. Космические исследования в Болгарии. С., БАН. 448 с.
- Цветков, А., Л. Никова, Д. Йосифов, Б. Манева. 1989. Геофизични критерии за детайлно прогнозиране на оловно-цинкови орудявания в Спахиевското рудно поле. — Рудообр. проц. и минер. наход., 29, 29—36.
- Янев, Й., П. Марчев. 1981. Вулканизм в Боровицкой вулкано-тектонической депрессии. — В: Палеогеновый вулканизм в Местенском грабене, Центральных и Восточных Родопах (Южная Болгария). Рабочее совещ. и полевые исследов. раб. группы 3.4., София, 89—94.
- Янев, Й., А. Харковска. 1981. Общая характеристика магматизма, связанного с эпохой альпийского моласообразования на территории НР Болгарии. — В: Палеогеновый вулканизм в Местенском грабене, Центральных и Восточных Родопах (Южная Болгария). Рабочее совещ. и полевые исследов. раб. группы 3.4. София, 1—15.
- Harkovska, A., Y. Yanev, P. Marchev. 1989. General features of the Paleogene orogenic magmatism in Bulgaria. — Geol. Balk., 19, No 1, 37-72.
- Hussak, E. 1883. Das Trachytgebiet der Rhodope. — Jb. geol. Reichsanstalt, 33, No 1, 115—130.
- Ivanov, R., O. Koop. 1969. Das Alttertiär Thrakiens und der Ostrhodope. — Geol. et Paleont., 3, 123—151.
- Kanazirski, M., Y. Yanev. 1983. Physicochemical analysis of mineral paragenesis of zeolitized perlites in the Borovicka area in the Eastern Rhodope Mts. — C. R. Bulg. Acad. Sci., 36, No 12, 1571-1574.
- Lilov, P., Y. Yanev, P. Marchev. 1987. K/Ar dating of the Eastern Rhodope Paleogene magmatism. — Geol. Balk., 17, No 6, 49-58.
- Peccerillo, A., S. Taylor. 1976. Geochemistry of Eocene calc-alkaline volcanic rocks in Turkey. — Contrib. Mineral. Petrol., 68, 63-81.
- Yanев, Y., N. Raynov, I. Tchehlarov, V. Tchouneva, M. Matanova, V. Lazarova. 1982. Zeolites in perlites from the eastern part of the Borovitsa Region, Eastern Rhodopes (Bulgaria). — In: Crystal Chemistry of Minerals. Proc. 13th General Meeting IMA, Varna. Bulg. Acad. Sci., 737-748.

Одобрена на 13. VI. 1990 г.

Accepted June 13, 1990